

Vysoká škola: **strojní a textilní Liberec** Katedra: **technické mechaniky**

Fakulta: **strojní** Školní rok: **1962/63**

DIPLOMNÍ ÚKOL

pro
Ludvíka Hala de je

obor
04205 zaměření Stavba mechanismů a výrobních strojů

Protože jste splnil požadavky učebního plánu, zadává Vám vedoucí katedry ve smyslu směrnic ministerstva školství a kultury o státních závěrečných zkouškách tento diplomní úkol:

Název thematu: **Karuselový automat pro čerpání termolahví**

Pokyny pro vypracování:

Navrhnete celkovou dispozici čerpacího karuselu a proveďte základní pevnostní výpočty (2 výkresy A 0)

Navrhnete pneumatický event. hydraulický pohon otáčecího systému stroje. U systému vypracujte kinematické a dynamické řešení. (1 výkres A Q)

Proveďte běžný tepelný výpočet ohřívacího tunelu na termolahve, který je součástí stroje.

Nakreslete detailnáí výkresy součástek pro uchopení termolahve na stroji a připojení kapiláry k vývěvám.

Proveďte ekonomické zhodnocení navrženého automatu.

183/1962 S

Rozsah grafických laboratorních prací:

Rozsah průvodní zprávy: **minimálně 12 stran formátu A4**

Seznam odborné literatury:

Vedoucí diplomní práce: **Ing. Pavel Brouček**

Konsultanti: **Ing. Fialka**

Datum zahájení diplomní práce: **24.9.1962**

Datum odevzdání diplomní práce: **3.11.1962**



v.z. Charvat

Vedoucí katedry

Mayr

Děkan

v

Liberci

dne

24.9.

19

62

KARUSELOVÝ AUTOMAT PRO
ČERPÁNÍ TERMOLAHVÍ.

Zadání.

Mým úkolem bylo navrhnout celkovou dispozici čerpacího karuselu na termoláhve s pohonem pneumatickým nebo hydraulickým, dále provést tepelný výpočet ohřívacího tunelu a nakreslit detailní výkresy součástek pro uchopení termoláhve na stroji a připojení kapiláry k vývěvám. Celý automat jsem měl zhodnotiti po stránce ekonomické. Požadovaná kapacita karuselu byla stanovena cca 1.600 vyčerpaných termoláhví za 8 hodin.

18.11.1962

M. Haladěj

Úvod:

Téma diplomové práce bylo zadáno s. Ing. J. Manou, vedoucím závodu Vsetín n.p. Osvětlovací sklo Valašské Meziříčí, po dohodě s vedoucím diplomové práce s. Ing. P. Broučkem z Vysoké školy strojní a textilní v Liberci.

Důvody, které vedly k zadání tohoto tématu byly v podstatě tyto:

1. V perspektivách závodu je zavést linkovou výrobu termoláhví, pro kterou se dosavadní způsob čerpání termoláhví naprosto nehodí.
2. Snižení operační doby pro čerpání termoláhve.
3. Odstranění nebezpečí otravy vznikající při obsluze difuzních rtuťových vývěv.
4. Úspora pracovních sil a tím i zmenšení výrobních nákladů na 1 termoláhev.
5. Úsporu pracovního prostoru v hale.

Nutno předem podotknouti, že n.p. Osvětlovací sklo, závod Vsetín mi umožnil v rámci dosažitelnosti získání maxima znalostí o této problematice, za což v prvé řadě vděčím vedoucímu závodu s. Ing. Manovi, který projevoval o mou práci velký zájem.

Z h o d n o c e n í č e r p a c í t e c h -
n i k y v Č S S R a v z a h r a n i č í .

U nás v republice se termoláhve vyrábějí jedině v n.p. Osvětlovací sklo, závod Vsetín a na Slovensku Clara v Utekáči. Čerpací karusely nejsou v těchto závodech zavedeny. Byly prováděny zkoušky s karuselem belgické výroby, tento se však neosvědčil a byl z provozu vyřazen. V n.p. Tesla, Rožnov používají na vyčerpávání vzduchu z elektronek sice karusely, ale úplně odlišného provedení, daného malým množstvím čerpaného vzduchu, což umožňuje, aby každá pozice měla vlastní vývěvu, která se otáčí spolu se stolem. Čerpací karusely podobného typu, jako jsem zvolil já, se nikdy u nás-pokud je mi známo-nevyroběly, což znamená, ~~e e z~~ znamená, že neexistuje ani žádná dokumentace. Rovněž speciální literatura není žádná v jazyce českém, ruském, anglickém nebo německém, jak mi bylo zjištěno Informační službou v Praze.

K dispozici jsem měl cestovní zprávu s. Vlasáka z n.p. Osvětlovací sklo, Valašské Meziříčí, který navštívil závod na výrobu izolačních láhví v Budapešti /Höpalack - es üvegipari Vállalat/. Na základě této cestovní zprávy v rozsahu asi 5 listů jsem získal představu o technické úrovni termoláhví v zahraničí.

Kapacita závodu je 4500-5000 láhví za 2 směny. Před čerpáním se láhve suší v pojízdných skříňových pecích, v nichž je na šíkmých stojanech umístěno najednou 100 láhví. Po naplnění stojanů se skříň uzavře, připojí se přívod plynu a láhve se vysuší hořáky umístěnými u dna pece při teplotě 200°C. Skříň je v provozu několik, zpravidla 1-2 hoří, jedna se plní a jedna vyprazdňuje. Pro čerpání používají karusely fy. Tungsram. Operační čas 1 kusu je 2,5 minuty, praktický výkon 1500 láhví za 8 hodin. Střídavě jsou v provozu 3 karusely, z nichž 2 mají starší čerpací zařízení, skládající se z olejových rotačních pump a difuzních rtuťových pump. U jednoho karuselu je

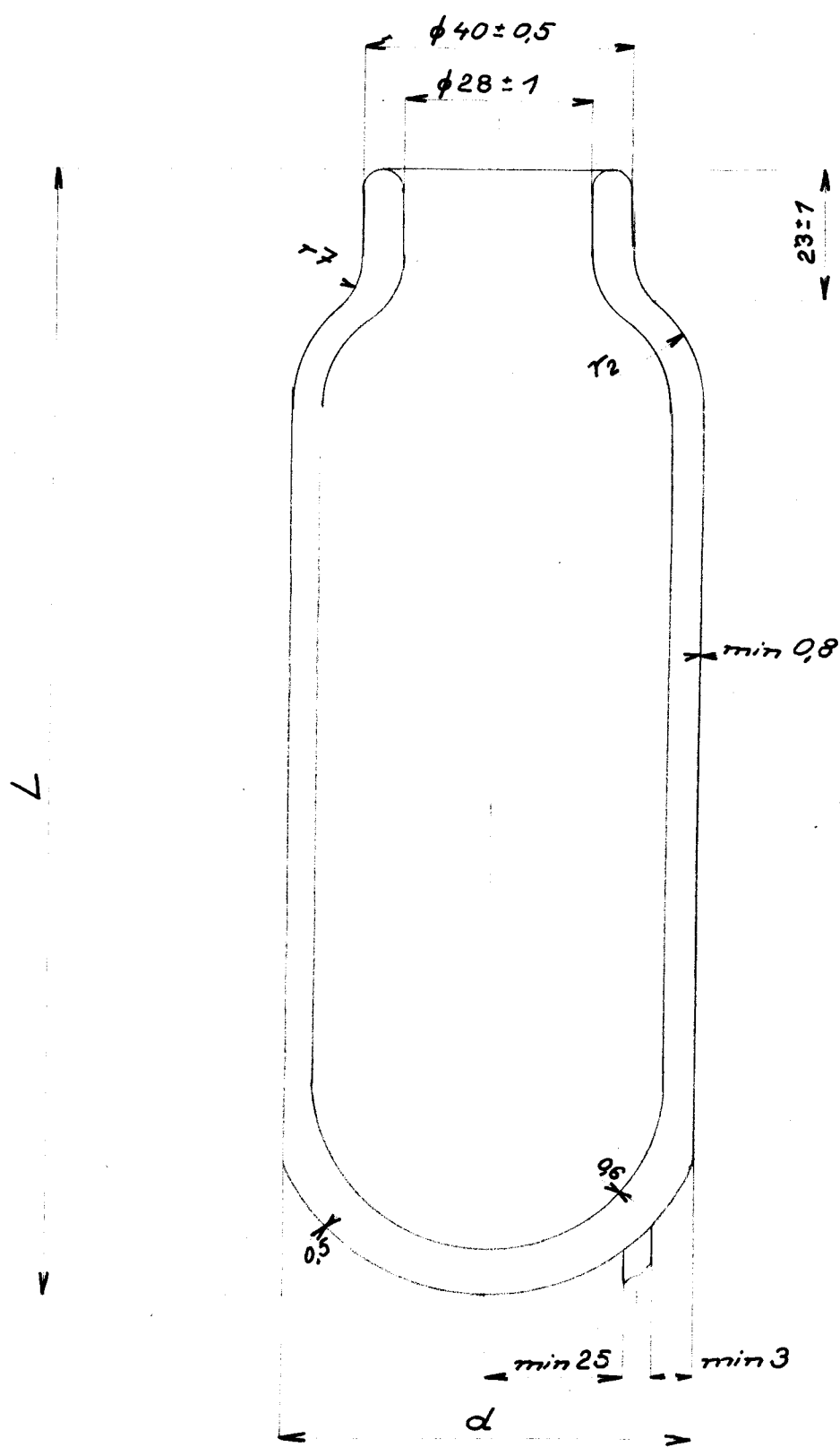
použito jako konečný stupeň vakuování olejové rotační čerpadlo BP500 o výkonu $5 \text{ m}^3/\text{hod}$. Pro náplň používají mazací olej o viskozitě 5°Englera při teplotě 100°C , který před použitím převařují při teplotě 110°C . Při vakuování zahřívají láhve na teplotu $300^\circ - 350^\circ\text{C}$ v tunelu na karuselu. Rotační část čerpacího karuselu je utěsněna dvojnásobným labyrintem na dosedací ploše nosného kotouče, do kterého je přiváděn tlakový olej.

Při konstrukci jsem se držel těchto údajů, protože nikdo u nás nemá praktické zkušenosti z konstrukce čerpacích karuselů, jak mi bylo sděleno ve Vývojové konstrukci sklářských strojů v Praze, n.p. Povážské strojírny. Jako poháněcího zařízení karuselu byl použit čtyřčlenný pneumatický mechanizmus, principielt podobný mechanizmu pohonu karuselu na navařování krků televizních buněk, který je v provozu v AVTB Valašské Meziříčí.

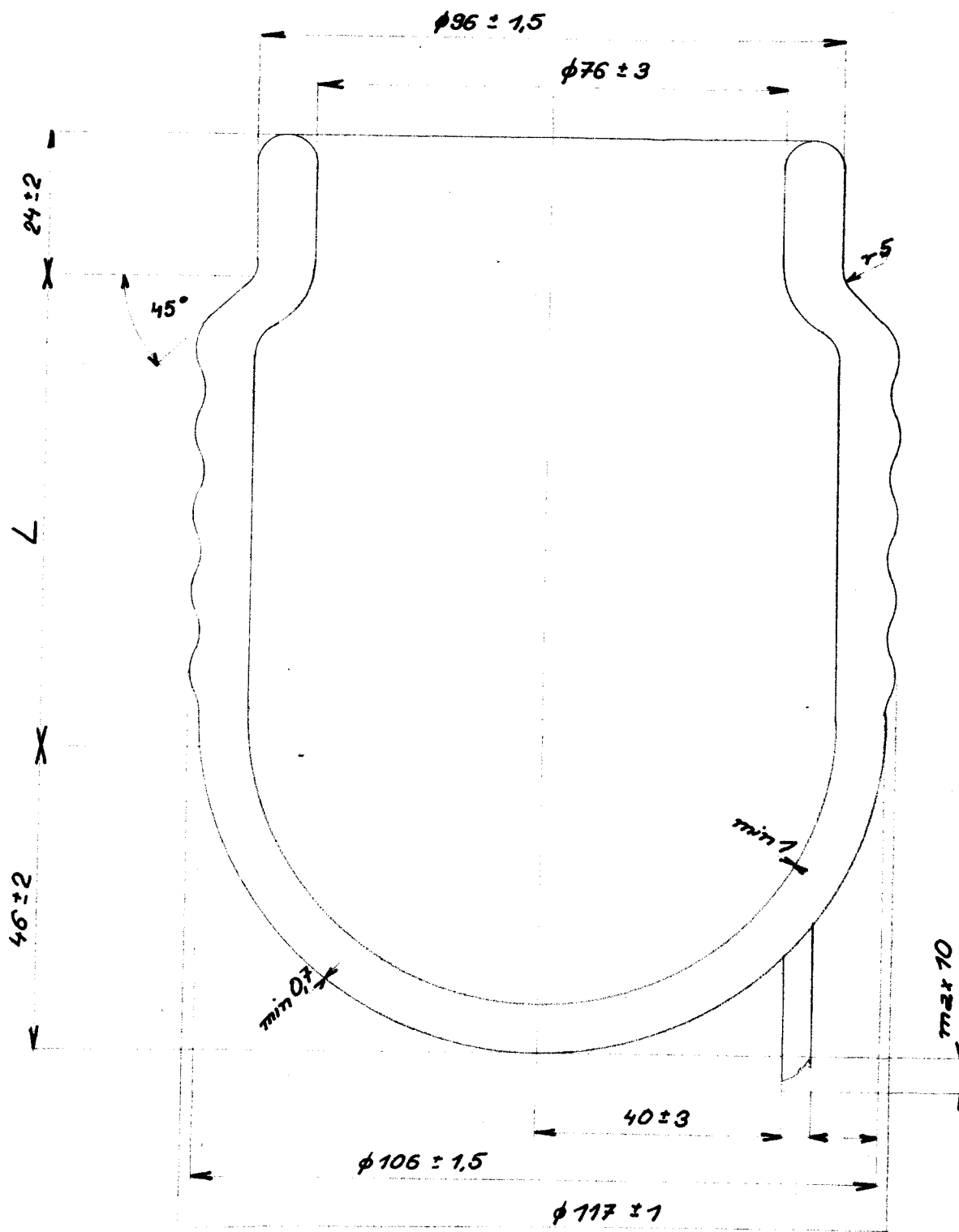
Norma vložekpro izolační láhev ČSN 70 4990.

Vložkou rozumíme dvoustěnnou láhev, mezi jejíž vnější a vnitřní stěnou je prakticky vzduchprázdný prostor. Izolační láhev je skleněná vložka s příslušenstvím. K výrobě vložek se používá skla sodno-vápenatého nebo sodnohořečnatého. Vložka musí být tepelně odolná vůči náhlým změnám teploty, t.j. musí snést tepelný náraz - v rozsahu 90°C a to náhlé ochlazení i ohřátí. Kapilára je zatavený výčnělek, vyčnívající ze dna vložky. Podle druhu láhev rozeznáváme:

1. Izolační láhev nápojovou - úzkohrdlá dvoustěnná láhev /vložka/ v ochranném pouzdře určená k uchovávání obsahu v požadovaném tepelném stavu.
2. Pancéřovou izolační láhev - vložka s vnější stěnou pravidelně zvlněnou nebo jinak ve skle upravenou s příslušenstvím.
3. Izolační láhev jídlovou - izolační láhev širokohrdlá v ochranném pouzdře, t.j. vložka s příslušenstvím.



NÁPOJOVÁ VLOŽKA



JÍDLOVÁ VLOŽKA

NÁPOJOVÁ VLOŽKA

Jmenovitý obsah litrů	d	L	T ₂	síla stěny	Obsah skutečný litrů	tolerance
0,25	61±1	172±5	20		0,243	±0,002 -0,003
0,50	71±1	203±5	27	min 0,6	0,430	
0,75	82±1	244±5	36	max 2,2	0,720	±0,005
1,00	82±1	280±5	36		0,855	

JÍDLOVÁ VLOŽKA

Jídelní nádoby litru	L
0,5	83±1
0,75	97±1
1	110±1

Technologický postup
konečného zpracování termosek.

1. Pukání.

Po nahráti tyče v místě opuknutí rozpukne se tyč na vnější a vnitřní láhev. Vnitřní se zasune do vnější a uloží se do bedny. Před uložením je láhev zkontovalována prohlížečkou a vadné láhve jsou vyřazeny.

2. Záťav hrdel.

Záťav se provádí na karuselu se 40 pozicemi. Karusel má oproti jednopozicovému zařízení tu výhodu, že pracovník, který tvaruje hrdlo není zaměstnán seřizováním vnitřní a vnější láhve a dosahuje tak vyššího výkonu. Pracovnice ukládá a vystředuje v čelistech držáku karuselu obě láhve. Posuv karuselu je ovládán pomocí ruční páky pracovníkem, který tvaruje hrdlo tvarovacím nožem, máčeným v oleji. Obsluha u jednopozicového zařízení provádí jak seřizování vnitřní a vnější láhve, tak i tvarování. U obou způsobu prochází láhev před tvarováním přebehřátím a po tvarování chlazením.

3. Záťav den.

Přebehřátou láhev nasadí dnař do otáčivého držáku a po postupném vyhřátí pomocí sklářských hořáků rozeřeje láhev v místě zatavení natolik, že pomocí kleští a regulace otáček vytvaruje dno láhve. Ihned po vytvarování nahřeje na okraji dna bodově jedno místo, pomocí čerpací trubičky vytáhne špičku, špičku urazí a na její místo nataví čerpací trubičku v délce 4-5 cm. Láhev pak odkládá na chladící karusel.

4. Vytahování /zužování/ čerpací trubičky.

Po zatavení dna je nutné zúžit průměr čerpací trubičky, aby záťav po vyčerpání byl dokonalý. Tato operace se provádí před čerpáním nahráti čerpací trubičky v délce 2 cm a zúžením přibližně na poloviční průměr.

5. Stříbření, vyplachování a sušení.

5. Stříbření, vyplachování a sušení.

Prohlédnuté láhve se naplní 0,25-0,50% roztokem chloridu cínatého. Roztok po opláchnutí stěn láhve se odstraní na vyplachovacím korytě stlačeným vzduchem. Láhev vypláchnutá chloridem cínatým se musí ihned vypláchnout vodou teplou 70°-80°C, aby zbytky chloridu byly řádně odstraněny a teplota láhve byla min. 60°C. U vyplachování chloridem cínatým nesmí být vypláchnuto více láhví než stačí odebrat pracovnice u vyplachování vodou, protože delším stáním ulpívá chlorid na stěnách tak silně, že ani řádný výplach ho kvantitativně neodstraní. Podmínka malého počtu láhví platí i u výplachu horkou vodou a to z důvodu rychlého poklesu teploty vody a tím i prodloužení doby při redukci stříbra. Očištěné a horké láhve se naplní amoniakálním roztokem dusičnanu stříbrného a redukčním roztokem při jedné operaci. Naplněné láhve se okládají na stůl s otáčivými válci, aby mohla na celé ploše láhve proběhnout redukce. Konec redukce se pozná stálostí vyredukovaného stříbra. Roztok po redukci se odstraní stlačeným vzduchem a vodou. Láhve se pak okládají do sušky, kde při teplotě 190°-210°C se odstraní voda. Po sušení jsou láhve připraveny k čerpání.

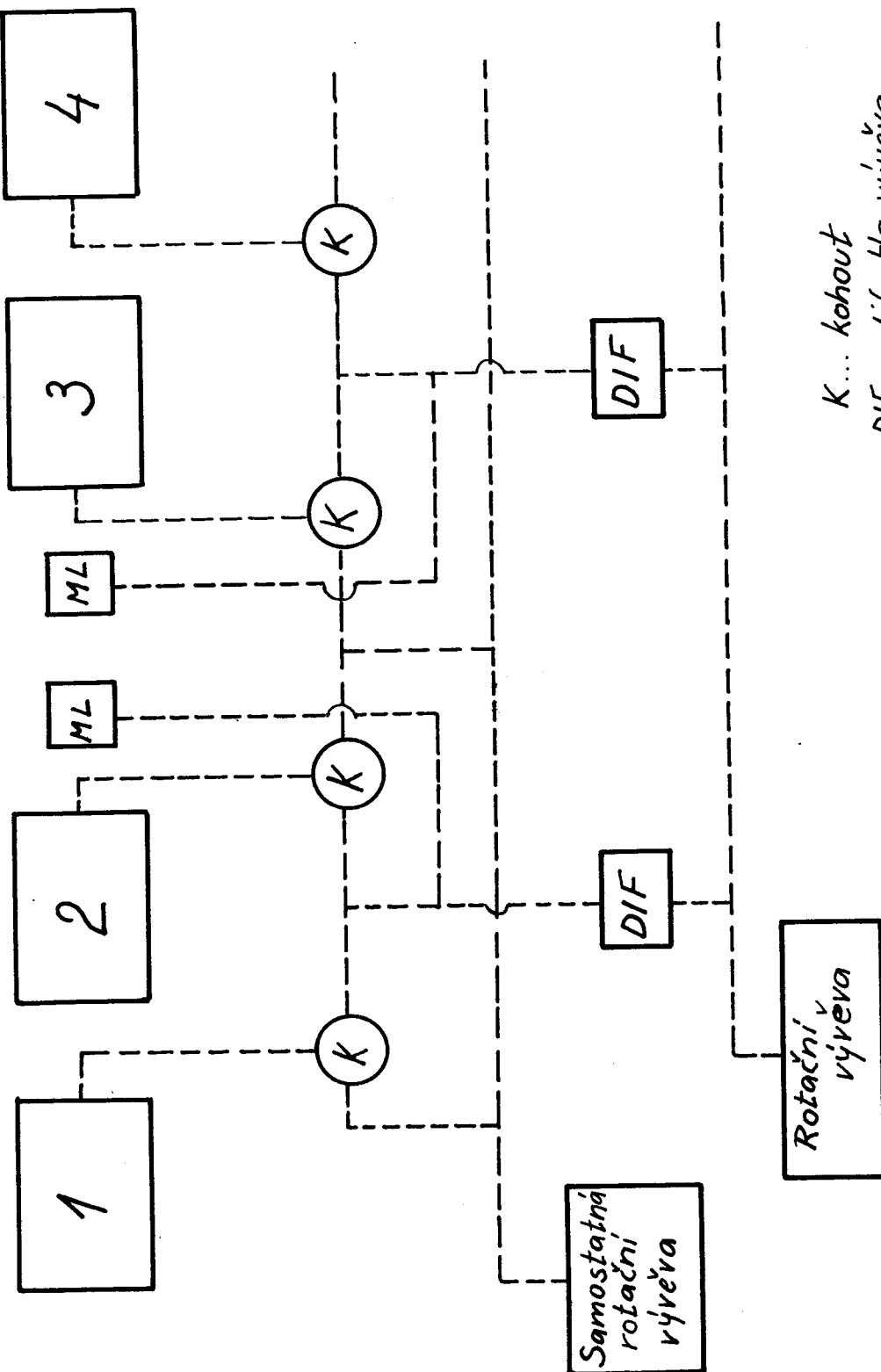
6. Čerpání - stávající technologický postup.

Je popsán podle schematu čerpací stanice. Čerpař nataví láhve ve skříni č.1, zapálí plynové hořáky na spodu skříně a oteče kohout této skříně na samostatnou rotační vývěvu. Po skončení 1.skříně se provede stejný postup ve skříni č.3 a ve skříni č.2. Těsně před skončením natavení skříně č.2 přepojí skřín č.1 a 3 na difuzní vývěvu. Po skončení natavení skříně č.2 zhasne hořáky ve skříních č.1 a 3, nataví láhve ve skříni č.4 a přepojí tuto skřín na samostatnou rotační vývěvu. Proměří vakuum ve skříních č.1 a 3 /Mac-Leod- vakuoměr/ a odtaví v těchto skříních láhve! Po odtavení láhví přepojí skříně č.1 a 3 do neutrální polohy. Zbyvající skříně č.2 a 4 přepojí na difuzní vývěvy a postup dokončí jako u skříní č.1 a 3. Tím je jeden cyklus ukončen a celý postup se opakuje.

7. Zkoušení izolační schopnosti.

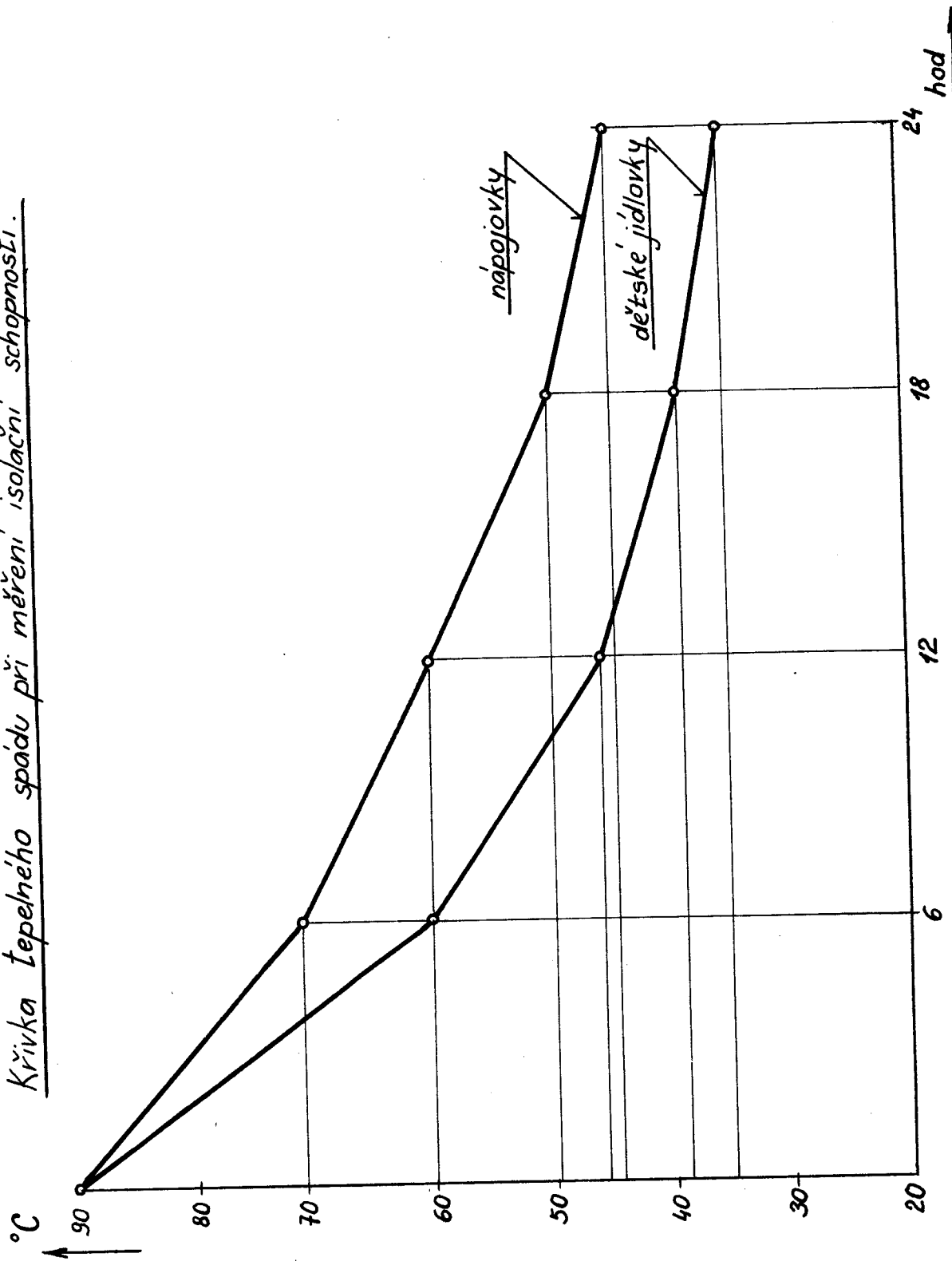
Láhve po vyčerpání jsou naplněny vodou teplou 90°C . Po 24 hod. se měří teplota a podle její výše se láhve rozdělí na dobré a zmetky. Výše teploty se řídí druhem láhve a je předepsána přejímacími podmínkami. V případě, že je zapotřebí láhve zkoušet dříve než za 24 hodin, je potřebná teplota odečtena z křivky spádu teploty s časem. Prostředí zkoušený musí mít teplotu 20°C .

Schema 'čerpací' stanice



K... kohout
D/F... dif Hg vývěra
ML... Mac-Lead vakuometr
1,2,3,4... čerpací stanice

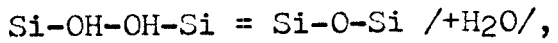
Křivka tepelného spádu při měření 'isolacní' schopnosti.



Odplynování skla.

Množství plynu, které uvolní sklo ve vakuu závisí na složení skla, jakosti jeho povrchu a provozní teplotě. Plyny vnikají do sklovité hmoty při výrobě skla různým způsobem, například vzduch při sestavování práškovitých složek skla, jako rozkladné plyny /především H_2O , CO_2 / složek, které se přivádějí do taveniny jako hydráty, uhličitanы a pod. a konečně absorpcí taveniny skla. Ačkoliv se při tavení většina těchto složek odstraní, obsahuje sklo po ztuhnutí ještě značné množství H_2O , CO_2 a O_2 a málo N_2 H_2 . Kromě těchto plynů rozptýlených v hmotě skla, obsahuje sklo i na svém povrchu značné množství vodní páry. Působením čistící vody nebo vlivem vodní páry ze vzduchu v době skladování se nachází na povrchu skla gél kyseliny křemičité. Tato gélová vrstva obsahující vodu má tloušťku okolo 50 i více molekulových vrstev. Voda, kterou tento gél váže, zhoršuje při ohřevu stěn termoláhví vakuum a musí být proto bezpodmínečně v termoláhvích buď před čerpáním, nebo při čerpání odstraněna vysokým a dostatečně dlouhým ohrevem aspoň natolik, aby při provozní teplotě nenastalo podstatnější uvolňování vodní páry. Doporučuje se to provádět na základě pokusů následujícím způsobem:

Při pomalém ohřívání skla ve vakuu se nejprve odstraní asi při 150° - $200^{\circ}C$ větší část absorbovaných plynů a vrstva H_2O , nad $300^{\circ}C$ probíhá postupné vysušování níže ležící vrstvy, při čemž se současně tvoří vazba Si - O podle



takže už po několika minutách při odplynovacích teplotách mezi 300° - $400^{\circ}C$ je další uvolňování plynů velmi nepatrné. Jen za vyšších teplot se potom začnou uvolňovat plyny rozpuštěné v samotné hmotě skla a nastává trvalé uvolňování plynů, které je vyvolané pomalým oddifundováním vody rozpuštěné ve skle a je úměrné druhé odmocnině času t podle vztahu

$$m = K_1 \sqrt{t} + K_2$$

m ----- celkové množství uvolněného plynu
 K_1 , K_2 materiálové konstanty
 t ----- čas

Zdrojem uvolňování těchto vodních par jsou rovněž povrchové vrstvy skla, jak ukazují porovnávací měření uvolňování vodních par z právě vyrobeného skla, dlouho uskladněného, nezpracovaného skla a konečně i dlouho uskladněného skla, povrch kterého byl naleptaný HF. Rychlosť uvolňování vodních par je přitom tím větší, čím je vyšší teplota skla tak, že "rychlosť" uvolňování plynu $\frac{dm}{dt}$ stoupá exponenciálně podle vztahu

$$\frac{dm}{dt} = C \cdot e^{-\frac{A}{T}}$$

Musí být proto grafické znázornění pro jednotlivá skla dané přímkami

$$\log \left[\frac{dm}{dt} \right] = -\frac{A}{T} + B$$

m ----- uvolněné množství vodní páry,

t ----- doba ohřevu

T ----- teplota ohřevu °K

A,B ----- materiálové konstanty

Uvolňování plynu se proto normálně zvyšuje s rostoucím obsahem alkálií a je o to nižší, čím více bylo sklo při tavení v hutí vyhřáté. I předběžné vyhřátí skla na vzduchu zmenšuje uvolňování plynů, dokud teplota ohřevu ve vakuu nepřekročí podstatně předcházející teplotu vyhřátí. Tento účinek se zachová několik dní, i když sklo po předběžném ohřevu vystavíme znova působení normálního vzduchu.

Výsledky měření ukazují jednoznačně, že pro odplynění skla nestačí teploty 100°C - 150°C , když chceme odstranit adsorbované plynové vrstvy a především vodní film. V praxi se proto používají odplyňovací teploty, které převážně bývají asi o 20° až 60°C nižší jako dolní chladící teplota příslušného skla.

Všeobecně bychom vystačili na dostatečné odplynění vnitřních povrchních skla s odplyňováním asi 20-ti minutovým, protože v intervalu teploty mezi 200° - 475°C sklo za tento čas uvolní skoro všechnen "volný" obsah plynu.

Množství uvolněného plynu při dokonalem
odplynění různých skel.

		přístrojová skla	měkká skla	Olornatá skla	Tvrda skla
Transformační teplota	°C	480-580	400-550	410-550	515-750
Nejrydatnější uvolňování	°C	320	≈250	160	350
Uvolněné množství plynu	kondensovatelné	cm ³ /dm ²	4,5	19,3	—
	nekondensovatelné	cm ³ /dm ²	0,48	1,3	—
		cm ³ /dm ²	5,98	20,6	—

V o l b a d r u h u a p o č t u v ý v ě v .K o n t r o l a j e j i c h v ý k o n u .

Stupeň vakua, které můžeme dosáhnout vývěvami je různý a záleží na druhu vývěvy. Je-li tlak plynu v odsávaném prostoru v mezích 760 mm Hg asi do 1 mm Hg označujeme dosažené vakuum jako vakuum hrubé, nebo jako vakuum střední, je-li tlak v mezích asi od 1 mm Hg do 10^{-3} mm Hg a konečně jako vysoké vakuum, je-li tlak plynu v odsávaném prostoru v mezích od 10^{-3} do 10^{-6} mm Hg, případně ještě méně.

Vakuum požadované při výrobě termosek je řádově 10^{-3} mm Hg.

Hrubé vakuum dosahujeme vysavačí, vodními vývěvami skleněnými a kovovými motorickými vývěvami suchými. Střední vakuum dosahujeme rotačními olejovými vývěvami jednostupňovými a dvojstupňovými. Vysoké vakuum difusními vývěvami rtuťovými, parafinovými a olejovými.

Pro čerpání termosek se hodí rotační olejové vývěvy. Difusní pumpy se už i v zahraničí přestávají používat, jak je vidět na příkladě maďarského závodu Höpalack -es üvegipari Vállalat v Budapešti.

Rotační olejové vývěvy patří mezi vývěvy mechanické, jejichž princip je v opakujícím se vyssávání plynu z uzavřeného prostoru do vývěvy a vytlačování plynu z vývěvy mechanickou cestou, po hybujejícím se tělesem. Výkonnost olejových rotačních vývěv hodnotíme podle mezního tlaku a podle čerpací rychlosti. Mezní tlak je nejnižší tlak, kterého můžeme daným zařízením dosáhnout. Při tom musíme rozlišovat t.zv. parciální tlak zbylého plynu a parciální tlak pohonné látky.

Celkový mezní tlak je pak součet obou parciálních tlaků. Hodnoty obvykle udávané v tabulkách se vztahují na parciální tlak odsávaného plynu. Mezní tlak rotačních olejových vývěv jednostupňových je obvykle v hodnotách 10^{-2} až 10^{-3} mm Hg /t.j. parciální tlak zbylého plynu/, kdežto celkový mezní tlak bývá asi $5 \cdot 10^{-2}$ mm Hg. Aby bylo dosaženo nižšího mezního tlaku, používá

se vývěv dvojstupňových, kterými se dosáhne vakuum asi $10 \times$ vyšší, tedy řádově 10^{-3} mm Hg.

Celkový mezní tlak rotační olejové vývěvy ~~závisí ve značné míře~~ na druhu použitého oleje. Olej používaný pro rotační vývěvy nesmí obsahovat žádné složky o vysokém tlaku nasycených par /těkavé přimíšeniny/, dále není vhodný olej, který obsahuje nebo snadno pohlcuje vodu. Ve vakuu se vždy z takového oleje vypaří vodní páry a zabraňují dosažení vyššího vakua. Použitý olej nemá mít schopnost pohlcovat kyslík, má být co nejvíce možno netečný oproti čerpaným plynům. U vývěv s výkonem asi do $15 \text{ m}^3/\text{hod.}$ postačí chlazení vzduchem, neboť ani při trvalém provozu teplota oleje nepřekračuje 50° , max 55°C .

Čerpací rychlosť rotační vývěvy je přímo závislá na objemu plynu, který se rotorem vytlačí za jednu otáčku a na počtu otáček rotoru za jednotku času. Udává se obvykle počtem m^3 vzduchu čerpaného za 1 hodinu při teplotě 0°C a tlaku 760 mm Hg. Tento údaj se však nevztahuje na čerpání vzduchu z uzavřeného prostoru. Zde totíž čerpací rychlosť rotační vývěvy klesá úměrně s klesajícím tlakem a při dosažení celkového mezního tlaku je rovna nule.

Na základě těchto údajů a požadavků použiji pro karusel na čerpání termoláhví tří dvoustupňových rotačních olejových vývěv typu RV II 7,5 z nichž jedna bude mít za úkol vytvářet předvakuum a zbylé 2 budou dočerpávat na požadovaný mezní tlak 10^{-3} mm Hg.

Tyto pumpy vyrábí n.p. Laboratorní přístroje, Praha II. Jsou dodávány s elektrickým motorem, spinačem a gumovým přivodním kabelem ~~nemontovanými~~ na společné desce. Pohon vývěvy je klínovymi řemeny. Jelikož použiji 3 pump zabudovaných do společného bloku bude výhodnější, aby el.instalace/kabel/ byla společná pro všechny 3 pumpy.

Technické údaje vývěvy RVII 7,5.

Čerpací výkon za normálního tlaku vzduchu: $7 \text{ m}^3/\text{hod.}$
Elektromotor: 220/380 V, 0,4 kW, 500 ot/min na vývěvě,
náplň oleje : 4 kg, trvanlivý olej T,
rozměry : 690x 350 x 430,
váha : 52 kg,
chlazení : vzduchem.

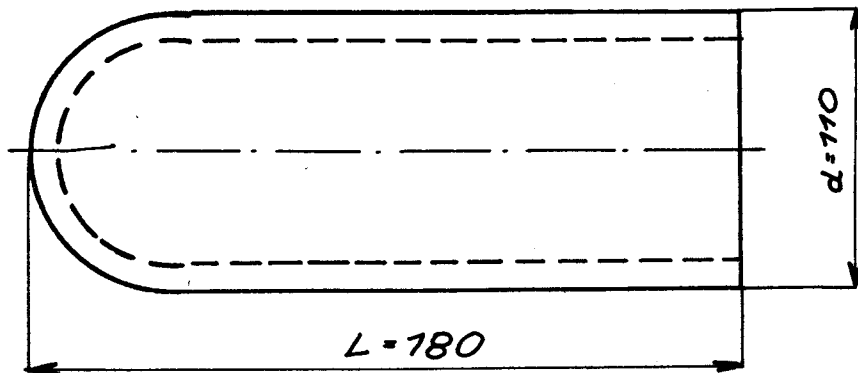
Kontrola výkonu vývěry.

Předvakuovací vývěra čerpa' na 12 pozicích. Doba čerpání termoláhvě na 1 pozici činí 12 sec. Celý výkon předvakuovací vývěry čerpa' tedy obsah 1 termoláhvě 12 sec. Docerpávací vývěra čerpa' 1 termoláhev 24 sec.

Obsah vzduchu z plynů ukládajících ze stěn 1 termoláhvě je čerpán celým výkonem 1 vývěry po dobu 36 sec.

Max. množství vzduchu v 1 termoláhvě.

Vycházím z obsahu 1l jídlovky.



$$Q_1 = \pi r^2 \cdot L - 1000 = \pi \cdot 5,5^2 \cdot 18 - 1000 = \underline{\underline{700 \text{ cm}^3}}$$

Množství plynu unikajícího ze stěn1 termoláhev.

Z 1dm^2 povrchu se uvolní $20,6\text{ cm}^3$ plynu.

F = povrch termoláhvě (i vnitřní)

$$F = 2\pi d \cdot L = 2 \cdot \pi \cdot 7,7 \cdot 7,8 = 12,6 \text{ dm}^2$$

$$O_2 = 20,6 \cdot 12,6 = \underline{\underline{260 \text{ cm}^3}}$$

Celkové množství vzduchu a plynu,
které je nutno odčerpat z 1 termoláhvě.

$$O = O_1 + O_2 = 700 + 260 = 960 \text{ cm}^3$$

$$\underline{\underline{O = 1\text{dm}^3}}$$

Dané parametry vývěry.

$V_h = 7\text{ m}^3/\text{hod}$ výkon vývěry

$n = 500 \text{ ot/min}$ otáčky

$O = 1\text{dm}^3$ obsah čerpaného prostoru

Kontroluji, zda se po dobu $T=36\text{ sec}$ dosáhne předepsaného vakua 10^{-3} mmHg .
Při výpočtu činím předpoklad, že se teplota v prostoru z něhož plyn odcerpáváme nemění a že dopravní účinnost vývěry je konstantní.

V objem nassatý vývěrou při 1 otáčce

c poměr objemu nassatého vývěrou
při 1 otáčce k obsahu čerpaného
vzduchu

G váha plynu v prostoru O na
počátku odsávání

P_o tlak v prostoru na počátku
odsávání

P_i tlak v prostoru O po i ot.

i počet otáček vývěry

T čas čerpání

T_o teplota ve °K na poč. Odsávání

$$\begin{aligned}
 G &= \frac{P_0 \cdot O}{R \cdot T} = \frac{P_1 \cdot O}{R \cdot T} + \frac{P_1 \cdot V}{R \cdot T} = \\
 &= P_1 \cdot \frac{O}{R \cdot T} (1+c) = P_1 \cdot \frac{O}{R \cdot T} (1+c)^2 = \\
 &= \dots \dots \dots = P_i \cdot \frac{O}{R \cdot T} (1+c)^i
 \end{aligned}$$

Upraveno

$$(1+c)^i = \frac{G \cdot R \cdot T}{P_i \cdot O} = \frac{P_0}{P_i}$$

$$i = n \cdot \tau$$

Dáno τ a kontroluj: $\frac{P_0}{P_i}$

$$V = \frac{V_h}{60 \cdot n} = \frac{7000}{60 \cdot 500} = 0,23 \text{ dm}^3/\text{ot}$$

$$c = \frac{V}{O} = \frac{0,23}{1} = 0,23$$

$$G = O \cdot 1,293 = 1,3 \text{ g}$$

$$P_0 = P_{atm} \cdot \frac{T_0}{293} = 760 \cdot \frac{573}{293} = 1485 \text{ mm Hg}$$

$$P_i = 10^{-3} \text{ mm Hg}, n = 500 \text{ ot/min}$$

$$\bar{T} = 36 \text{ sec}, i = n \cdot \bar{T} = 300$$

$$(1+c)^i = \frac{P_0}{P_i}$$

$$P_i = \frac{P_0}{(1+c)^i} = \frac{1485}{(1,23)^{300}}$$

$$\log P_i = 3,6857 - 300 \cdot 0,09 = 0,6857 - 24$$

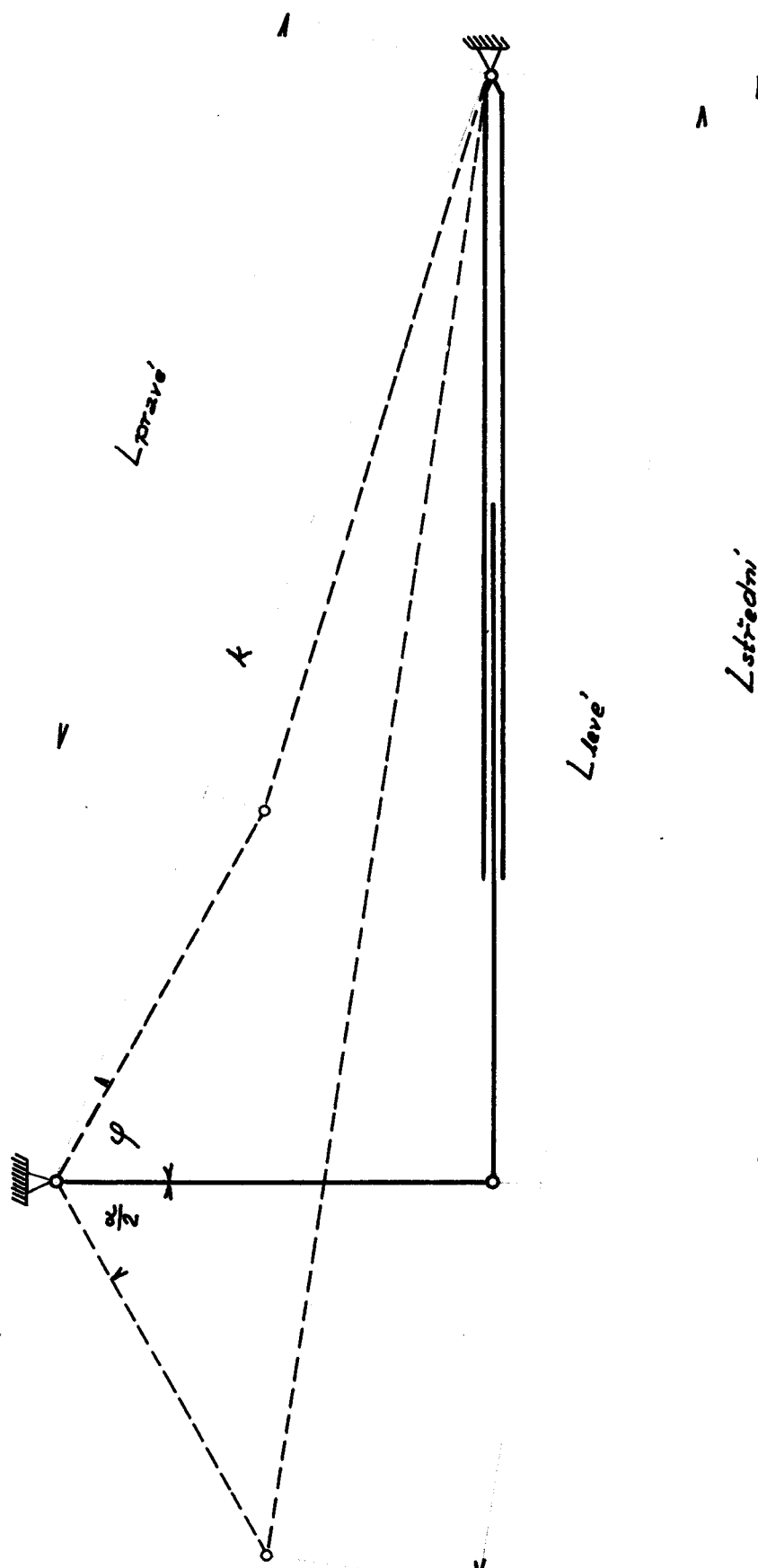
$$\underline{\underline{P_i = 1,485 \cdot 10^{-24}}}$$

Takové vakuum samozřejmě nedosáhneme, ale vidíme, že i přes značně zjednodušené předpoklady je kapacita výše dostatečná.

NÁVRH MECHANISMU POHONU KARUSELU

Čerpací karusel bude 16-ti posuvný, jak vyplývá ze stanovené kapacity. To znamená, že po otocení o 1 pozici bude činit $22^{\circ}30'$. Jelikož zatížení otočného stolu je minimální a spocívá jen v pasivních odporech při otáčení a setrváčních silách, volím jako pohonný mechanismus stolu čtyřčlenný pneumatický mechanismus s výkyvným válcem. Pneumatický pohon je výhodný i z toho důvodu, že v závodě je k disposici tlakový vzduch $p = 6 \text{ bar}$ z vnitrozávodní rozvodné sítě.

Obecné' schéma mechanismu.



Výpočet zadního H

$$H = L_{levé'} - L_{pravé'}$$

$$L_{levé'}^2 = r^2 + k^2 - 2r \cdot k \cdot \cos\left(\frac{\alpha}{2} + \varphi\right)$$

$$\operatorname{tg} \varphi = \frac{L_{str}}{r} = \frac{635}{400} = 1,588 \quad \varphi = 57^\circ 50'$$

$$k = \sqrt{r^2 + L_{str}^2} = 750 \text{ mm}$$

$$L_{levé'} = 100 \sqrt{4^2 + 7,5^2 - 2 \cdot 4 \cdot 7,5 \cdot \cos 69^\circ 5'} = \\ = 714 \text{ mm}$$

$L_{levé'} = 714 \text{ mm}$

$$L_{pravé'}^2 = k^2 + r^2 - 2r \cdot k \cdot \cos\left(\varphi - \frac{\alpha}{2}\right) = \\ = (7,5^2 + 4^2 - 2 \cdot 7,5 \cdot 4 \cdot \cos 46^\circ 35') \cdot 10^4$$

$L_{pravé'} = 558 \text{ mm}$

$$H = L_{levé'} - L_{pravé'} = 714 - 558 = 156$$

$H = 156 \text{ mm}$

Popis činnosti elektro-pneumatické instalace karuselu na vakuování termolahví.

Elektrická instalace je napájena ~~ss~~ proudem. Pneumatická instalace je napájena vzduchem o tlaku 4-6 ata. Na tento tlak je redukován tlak z tlakového potrubí v závodě regulátorem tlaku s čističem RTC.

Před uvedením karuselu do chodu je nutno otevřít uzavírací kohout pneumatické instalace K a sepnout vypinač el.instalace J. Dále je nutno přesunout ruční šoupátko Rg do polohy pohyb. Při popisu činnosti elektro-pneumatické instalace karuselu vycházíme z levé krajní polohy kliky.

V okamžiku kdy klika dosáhne levé krajní polohy, sepne levý el.spinač S₁ a stlačí levý ventil unášecího kolíku V_{ul}. Po sepnutí levého el.spinače S₁ se uzavře proudový okruh v časovém relé Čr. Toto po nastavené době t nám uzavře proudový okruh přes cívku v řídícím ventili Řv. Tato nám vtáhne do sebe jádro, čímž nastane přesunutí pístu v řídícím ventili Vř proti tlaku pružinky. Tlakový vzduch proudí přes řídící ventil Vř nad pístek šoupatka S_z. Tento pístek se přestaví do dolní polohy, jelikož prostor pod pístkem má atmosferický tlak přes pravý ventil unášecího kolíku V_{up}, který je tlakem pružinky v levé krajní poloze. Tlakový vzduch proudí přes šoupátko zajišťovače polohy Šz nad píst zajišťovače polohy stolu Z a tento přestaví do spodní polohy, jelikož tlakový vzduch pod pístem uniká přes Šz do atmosféry. Píst zajišťovače Z přestaví pístek dolního ventilu zajišťovače polohy V_{zd} do pravé polohy a pístek horního ventilu zajišťovače polohy V_{zh} se vrátí tlakem pružinky do levé krajní polohy, čímž otevře prostor pod pístem šoupátka unašeče Šu do atmosféry. Tlakovým vzduchem proudícím přes stlačený ventil V_{ul} je píst šoupatka Šu přestaven do spodní polohy. Tlakový vzduch proudí přes šoupátko unášecího kolíku Šu pod píst unašeče U a tento vysune

nahoru, jelikož prostor nad pístem je otevřen, přes šoupátko Š_u do atmosféry. Jelikož píst v Z stlačil pístek dolního ventilu zajišťovače polohy V_{zd} do pravé krajní polohy, tlakový vzduch má přes V_{zd} otevřenou cestu nad píst šoupátka krokovacího válce Š_{kv}, který stlačí proti tlaku pružinky do spodní polohy. Vzduch pod pístkem šoupátka Š_{kv} odchází přes vybrání v kolíku unášeče U do atmosféry. Tlakový vzduch prochází přes šoupátko krokovacího válce Š_{kv} nad píst krokovacího válce KV / nad pístem se rozumí prostor, kterým prochází pístní tyč/, který tlačí směrem doprava. Prostor pod pístem KV je spojen s atmosférou přes šoupátko krokovacího válce Š_{kv}. Rychlosť pohybu pístu KV lze přestavovat regulátorem rychlosti otáčení stolu RR. Dvojí odvod vzduchu z pod pístu KV slouží k utlumení pohybu pístu.

Při pohybu kliky krokovacího ústrojí do prava se unáší zároveň stůl karuselu a činnost pneumatické instalace je stejná i přesto, že spinač S₁ se rozepne a píst ventilu Vul se tlakem pružinky dostane do pravé krajní polohy. Je to umožněno tím, že při sepnutí spinače S₁ klikou v levé krajní poloze se sepnou pomocné kontakty časového relé Č_r a i po rozepnutí spinače S₁ se proudový okruh v časovém relé Č_r uzavírá přes sepnutý koncový spinač Sp. Tímto je zároveň stále uzavřený proudový okruh cívky řídícího šoupátka V_r, který drží pístek šoupátka V_r v dolní poloze. Pístek ventílu Vul je v pravé krajní poloze, čímž prostor nad pístem šoupátka Š_u je spojen s atmosférou a píst šoupátka Š_u je ~~spojen~~ držen ve spodní poloze tlakem pružinky.

Jakmile klika krokovacího ústrojí dosáhne pravé krajní polohy, rozepne pravý koncový vypinač, čímž rozpojí proudový okruh v Č_r a toto opět rezepne okruh cívky řídícího ventílu V_r, čímž se pístek v tomto ventílu přestaví tlakem pružiny do horní polohy. Klika zároveň v pravé krajní poloze přesunula pístek ventílu V_{up} do pravé krajní polohy. Tímto tlakový vzduch přechází přes ventilek V_{up} pod píst šoupátka Š_z a tento přesune do horní polohy. Prostor nad pístem je propojen s atmosférou přes řídící ventil V_r. Tlakový vzduch proudí šoupátkem Š_z.

zajišťovače Z a tento přestaví do horní polohy. Vzduch nad pístem odchází přes šoupátko \check{S}_Z do atmosféry. Píst zajišťovače Z přestaví píst horního ventilku zajišťovače polohy V_{zh} do pravé krajní polohy, čímž tlakový vzduch prochází přes ventilek V_{zh} pod píst šoupátka \check{S}_U . který přestaví do horní polohy, jelikož proti působí jen síla pružinky. Tlakový vzduch proudí skrze šoupátko \check{S}_U nad píst unášeče U, který přesune do dolní polohy. Prostor pod pístem unašeče U je spojen s atmosférou přes šoupátko \check{S}_U . Jelikož pístek ventilu V_{zd} je tlakem pružiny v levé krajní poloze, je prostor nad pístem šoupátka \check{S}_{kv} propojen s atmosférou a píst šoupátka \check{S}_{kv} se přesune tlakem pružiny do horní polohy. Tlakový vzduch proudí přes šoupátko \check{S}_{kv} pod píst krokovacího válce, který tlačí vlevo. Prostor nad pístem je spojen s atmosférou přes šoupátko \check{S}_{kv} .

Jakmile kliká dosáhne levé krajní polohy cyklus se opakuje.

Mazání karuselu.

Volím mazání tlakovým mazacím přístrojem z těchto důvodů:

1. Tlakový olej bude sloužit k těsnění zábrusu.
2. Karusel bude pracovat v prašném prostředí.

Na karuselu bude provedeno tlakové mazání těchto ložisek:

1. Dvoudílného ložiska krokovací páky.
2. Spojení pístní tyče s krokovací pákou.
3. Pojízděcího kolečka krokovací páky.
4. Kývavého uložení krokovacího válce.
5. Axiální ložisko otočného stolu - zábrus, u něhož však hlavní funkcí tlakového oleje bude utěsnění.

Radiální kuličková ložiska stolu budou celá naplněna mazacím tukem.

Při výběru tlakového mazacího přístroje jsem se řídil prospektom Juranových závodů n.p.Brno. Zvolil jsem přístroj ON 12A42. Technická data tohoto přístroje jsou:

Váha	cca 2 kg
Sací výška	2 m
Sací potrubí	Ø 6 mm
Výtlač.potrubí	Ø 4 mm
O	bez zásobníku maziva
N	s regulací dvojic vývodů
12	počet vývodů
A	provedení
4	pohon strojní kývavý s ruční klikou
2	pohánění hřídel zprava před osou hlavního hřídele.

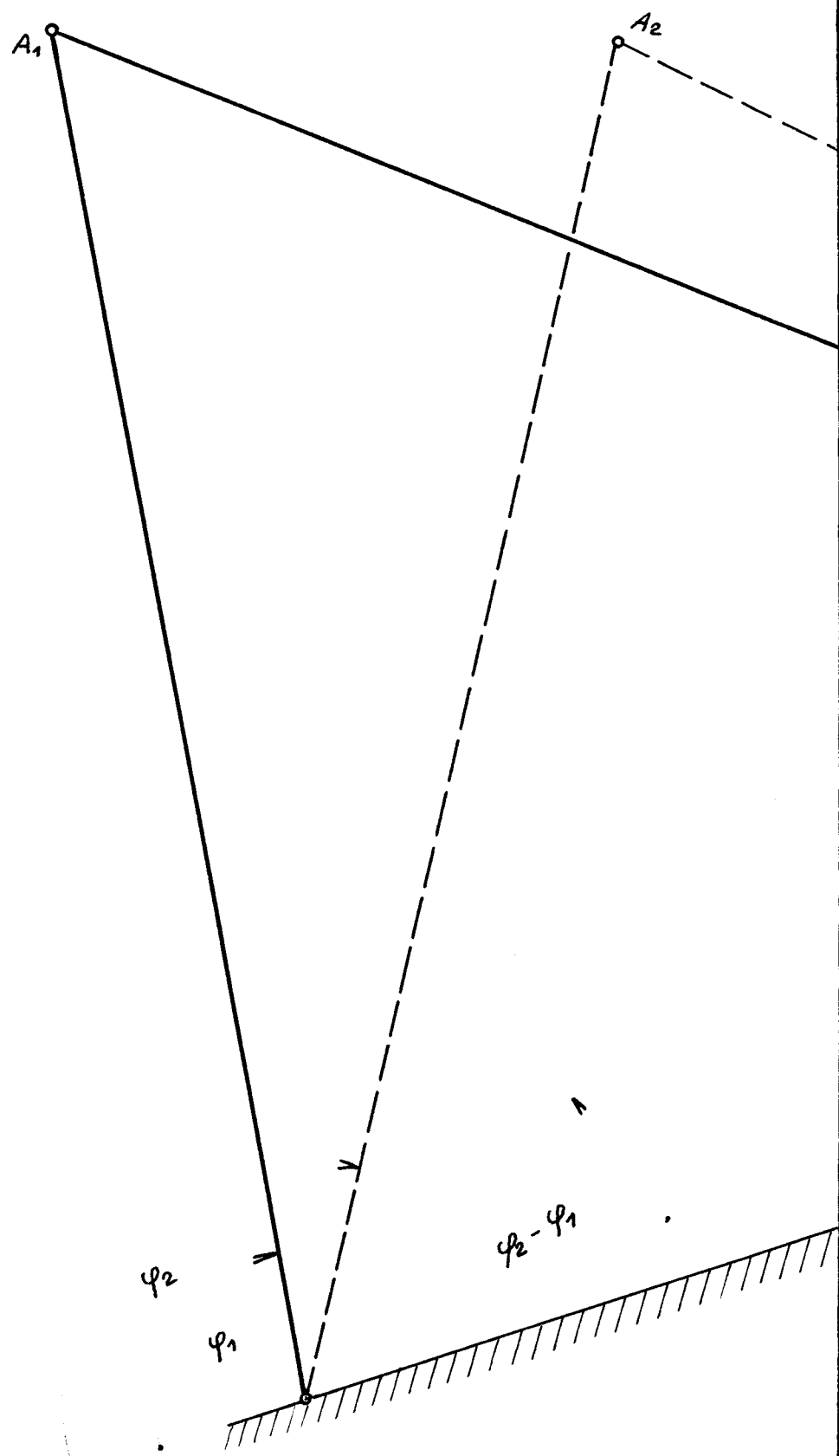
Činnost a regulace.

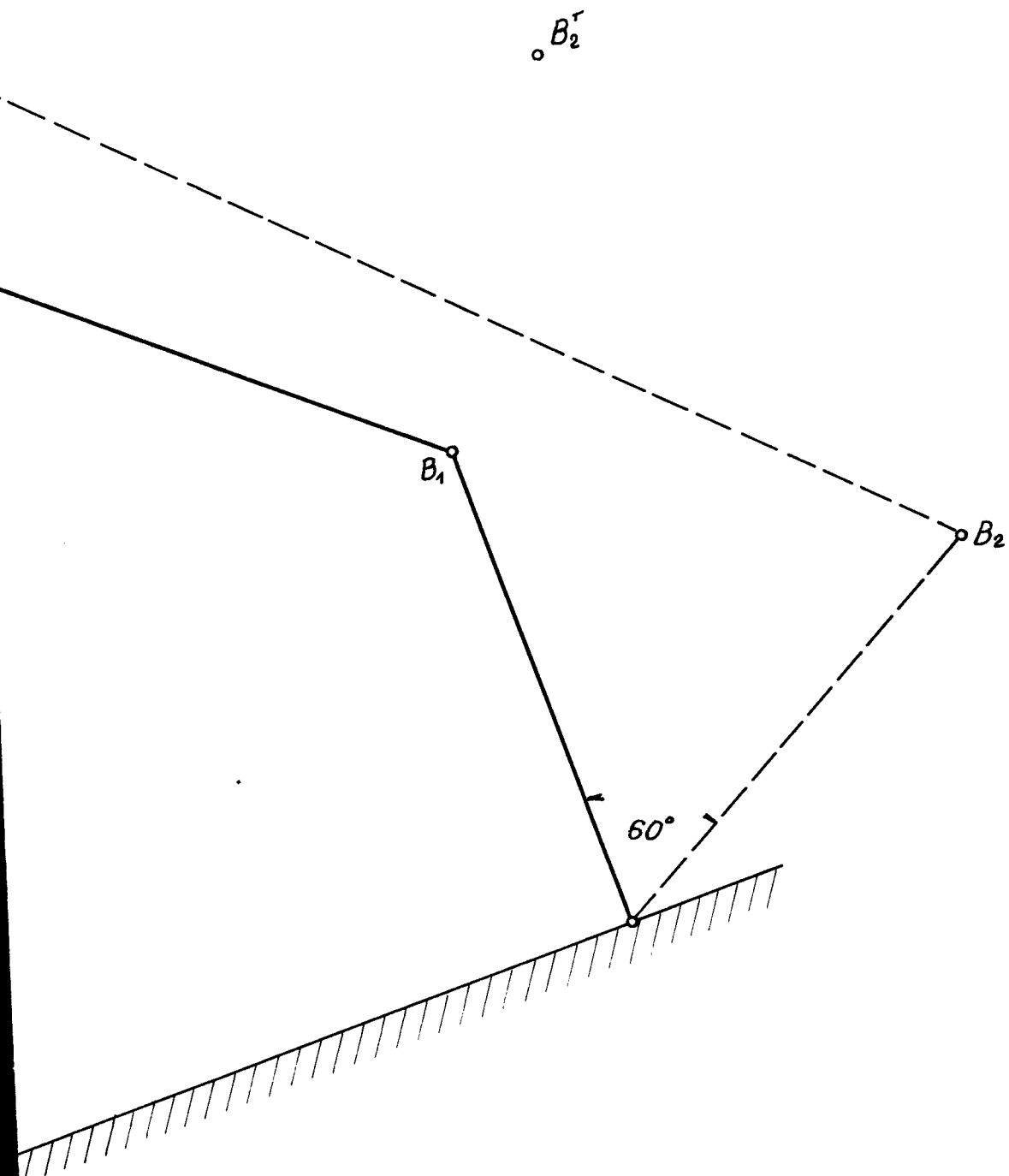
Otáčením hlavního hřídele strojně nebo ručně se otáčí i nakolíkovaný unašeč. Jeho ozub zapadá i do ozuba poháněcího kotouče, který je na hlavním hřídeli uložen volně otočně a unáší jej sebou. Náběhová plocha poháněcího kotouče zvedá píst a ten nasává olej. Při dalším otáčení tlačí náběhová plocha píst dolů

a ten vytlačuje nasátý olej do vývodky. Za jednu otáčku hlavního hřídele vykoná píst jeden pracovní zdvih. Dopravované množství oleje se dá regulovat od 0,00 až 0,115 cm³ za 1 zdvih pístu. Před regulací je nutno sejmout ruční kliku a víko.

Zašroubováním regulačního šroubu do pístu se zvětšuje a vyšroubováním zmenšuje zdvih pístu a tím i množství dodávaného oleje. Je-li regulační šroub úplně zašroubován, koná píst největší zdvih a dopravuje maximální množství oleje, t.j. 0,115 cm³. Písty i příslušné vývody jsou souhlasně očíslovány a nesmí se měnit.

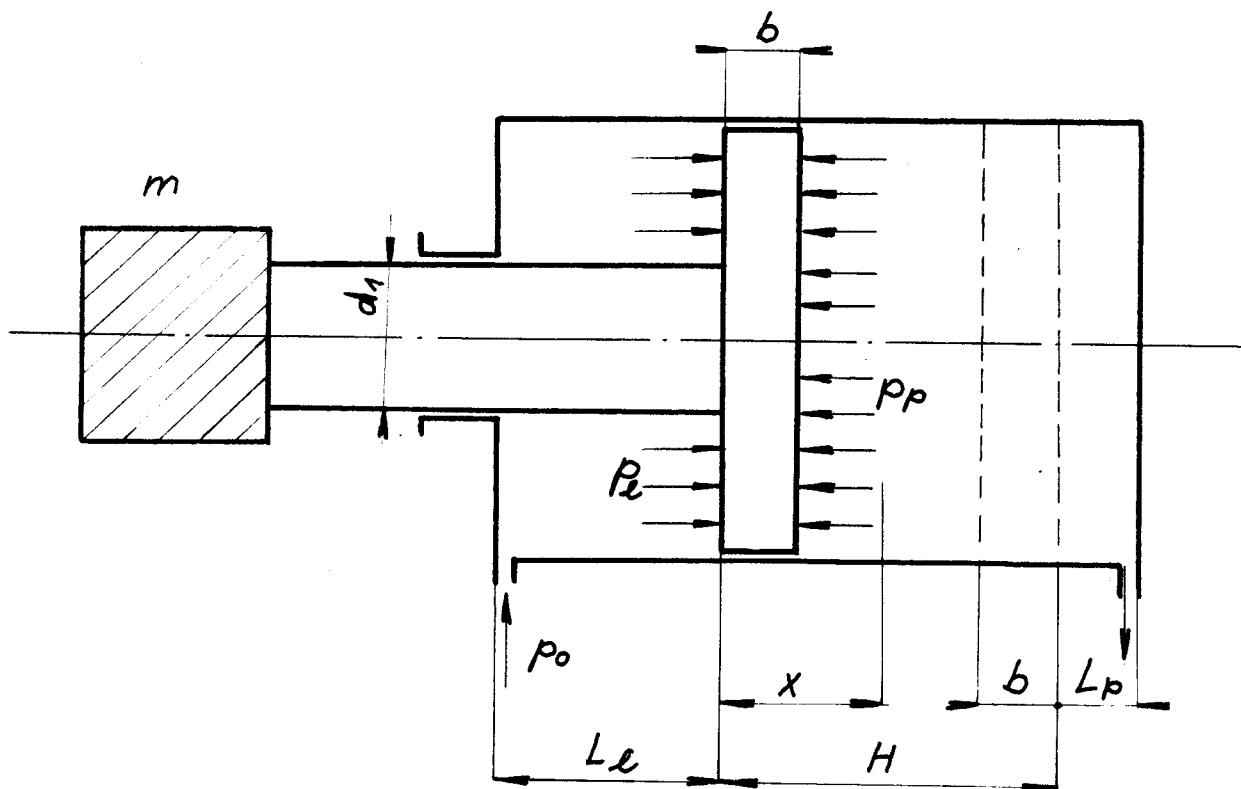
Mazací přístroje se uvádějí do provozu tím způsobem, že se naplní připojovací nádrž olejem a otáčí se ruční klikou tak dlouho, až vytéká olej bez vzduchových bublin volnými otvory pro šrouby vývodek. Dále se připojí čisté mazací potrubí k přístroji a naplní se otáčením ruční kliky olejem. Když olej vytéká na konci potrubí, připojí se toto k mazaným místům a dalším otáčením ruční kliky se dopraví olej až k třecím místům. Není-li pro některý vývod použití, odreguluje se příslušný píst avšak vývod se nesmí zazátkovat. Mazací přístroj je nutno alespoň jednou za rok rozložit a vyčistit.



HONU TLAKOVÉHO PRÍSTROJE

TEORETICKÝ VÝPOČET PNEUMATICKÉHO MECHANISMU

Poměry v pneumatickém válci
při nepohybujícím se pláště.



$L_c, L_p \dots$ délky určující mrtvý prostor
ve válci

$$\varphi = \frac{F_e}{F_p} = 1 - \left(\frac{d_1}{d} \right)^2 \quad \dots \text{poměr účinných}$$

$$F_p = F \quad \dots \text{ploch pistu}$$

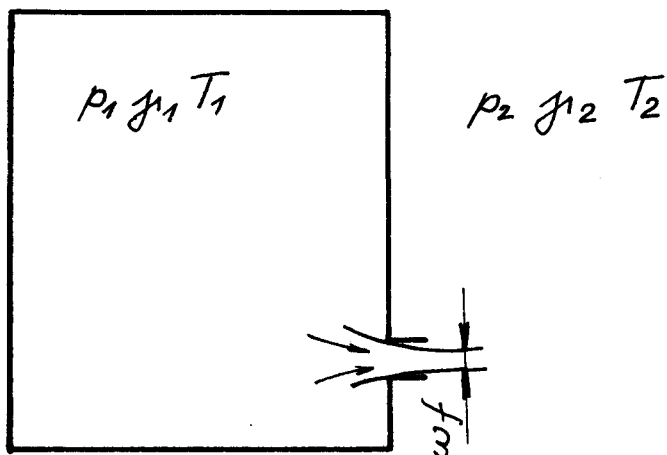
$$V_{eo} = L_e \cdot F_e = L_e \cdot \varphi \cdot F \quad \dots \text{objem levého mrtvého prostoru}$$

$$V_{po} = L_p \cdot F \quad \dots \text{objem pravého mrtvého prostoru}$$

Okamžik počátku pohybu pistu bude odpovídat takovému rozdílu tlaku po obou stranách pisty, který přemůže vnitřní síly působící na pist.

Před vlastním výpočtem termomechanických poměrů ve válci nutno odvodit některé základní rovnice.

Rychlosť výtoku plynu z nádoby
o konštantném objemu otvorem
staľej velikosti.



Energetická rovnica pro výtok

$$\frac{c^2}{2g} + \int_{p_1}^{p_2} \frac{dp}{\rho} + \xi \frac{c^2}{2g} = 0 \quad (1)$$

c ... rychlosť vzduchu

ξ ... koeficient ztrát

g ... gravitační zrychlení

ρ ... měrná váha

Vypočteme c

$$c = \frac{1}{\sqrt{1 + \xi^2}} \cdot \sqrt{2g \int_{\rho_2}^{\rho_1} \frac{dp}{\rho_1}} \quad (2)$$

kde $\frac{1}{\sqrt{1 + \xi^2}} = \varphi_2$... rychlostní součinitel

Rychlosť výtoku závisí na charakteru deje. V našem případě uvažujeme změnu stavu adiabatickou.

$$\frac{p_1}{\rho_1^k} = \frac{p_2}{\rho_2^k} = \frac{p}{\rho^k}$$

$$\rho = \rho_1 \left(\frac{p}{p_1} \right)^{\frac{1}{k}}$$

kde k je poměr měřných teplot
při stáleém tlaku a stáleém objemu.

Dosadíme za ρ_1 do rovnice ②
a integrujeme

$$\begin{aligned} c &= \varphi_2 \sqrt{2g \int_{p_2}^{p_1} \frac{dp}{\rho_1} \left(\frac{p_1}{p}\right)^{\frac{1}{k}}} = \\ &= \varphi \sqrt{\frac{2gp_1}{\rho_1} \left[1 - \left(\frac{p_2}{p_1}\right)^{\frac{k-1}{k}}\right] \frac{k}{k-1}} = \\ &= \varphi \sqrt{\frac{2k}{k-1}} \cdot \sqrt{gRT_1} \cdot \sqrt{1 - \left(\frac{p_2}{p_1}\right)^{\frac{k-1}{k}}} \quad ③ \end{aligned}$$

kde $\sqrt{gRT_1} = v_{T_1}$... rychlosť zvuku
ve vzduchu o teplotě T_1

Váhové množství $Q = wf \cdot \rho_2 \cdot c$

Dosadíme za c z rovnice ③

$$Q = u \cdot f \cdot p_2 \cdot v_{T_1} \sqrt{\frac{2k}{k-1}} \cdot \sqrt{1 - \left(\frac{p_2}{p_1}\right)^{\frac{k-1}{k}}} \quad ④$$

$$\frac{p_2}{p_1} = \left(\frac{p_2}{p_1}\right)^{\frac{1}{k}}$$

$$Q = u \cdot f \cdot p_1 \cdot v_{T_1} \cdot \sqrt{\frac{2k}{k-1}} \cdot \sqrt{\left(\frac{p_2}{p_1}\right)^{\frac{2}{k}} - \left(\frac{p_2}{p_1}\right)^{\frac{k+1}{k}}} \quad ⑤$$

Vidíme, že ráhové množství vzduchu proteklého otvorem je funkcií poměru $\frac{p_2}{p_1} = \epsilon$

V rovnici ⑤ označíme výraz

$$\sqrt{\frac{2k}{k-1} \left(\epsilon^{\frac{2}{k}} - \epsilon^{\frac{k+1}{k}} \right)} \text{ jako } \psi \quad ⑥$$

Vidíme, že maximální množství Q odpovídá ψ_{\max} .

Rovnici ⑥ zderivují a položím rovnou 0. Tím vypočítám E_{KR} ,

které odpovídá ψ_{\max} .

$$\epsilon_{KR} = \left(\frac{2}{k+1} \right)^{\frac{k}{k-1}} \quad \text{pro } k=1,41 \dots \epsilon_{kr}=0,528 \quad (7)$$

Jestliže $p_1 > \epsilon_{KR} \cdot p_2$, pak výtok je nadkritický a rychlosť zůstává stejná a tež ψ je stejná

$$\psi_{\max} = \sqrt{k \left(\frac{2}{k+1} \right)^{\frac{k+1}{k-1}}} \quad (8)$$

$$c_{KR} = \varphi \cdot \sqrt{g R T_1} \cdot \sqrt{\frac{2k}{k+1}} = \varphi V_{T_1} \sqrt{\frac{2k}{k+1}} \quad (9)$$

$$Q_{KR} = \mu \cdot f \cdot g_1 \sqrt{g \cdot k R T_1} \cdot \sqrt{\left(\frac{2}{k+1} \right)^{\frac{k+1}{k-1}}} \quad (10)$$

Změna stavu plynu v nádobě.

Změnu stavu plynu v nádobě a tím i ve válci při průtoku můžeme vypočítat, jestliže známe zákon změny stavu a počáteční parametry.

Váhové množství vzduchu za dobu dt vypočítáme z rovnice

$$dG = Q \cdot dt = \mu \cdot f \cdot \sqrt{g \cdot p_1 \cdot j_1 \cdot \varphi} \cdot dt \quad (11)$$

Jestliže uvažujeme změnu stavu jako polytropickou, pak

$$\frac{p_1}{j_1^n} = \frac{p_{1,0}}{j_{1,0}^n}$$

$$j_1 = j_{1,0} \left(\frac{p_1}{p_{1,0}} \right)^{\frac{1}{n}}; \quad dj_1 = \frac{1}{n} \cdot \frac{j_{1,0}}{p_{1,0}} \left(\frac{p_1}{p_{1,0}} \right)^{\frac{1}{n}-1} dp \quad (12)$$

$$p_1 j_1 = p_{1,0} j_{1,0} \left(\frac{p_1}{p_{1,0}} \right)^{\frac{1}{n}} = p_{1,0} j_{1,0} \left(\frac{p_1}{p_{1,0}} \right)^{1+\frac{1}{n}} \quad (13)$$

Protekle' množství vzduchu otvorem, určene' z rovnice (11) je rovno úbytku vzduchu v nádobe.

Jestliže G_0 a V_0 jsou počáteční vahové množství a objem v nádobě a G_1 a V_1 průběžné hodnoty při změně objemu, potom celkové množství vzduchu vyteklého za dobu dt je

$$G = G_0 - G_1 = V_0 j_{1,0} - V_1 j_1 \quad (14)$$

$$dG = -d(V_1 j_1) = -V_1 dj_1 - j_1 dV_1$$

$$dG = -V_1 j_1 \left(\frac{dp_1}{j_1} + \frac{dV_1}{V_1} \right) \quad (15)$$

Z rovnice (12) máme

$$\frac{dj_1}{j_1} = \frac{1}{n} \frac{dp_1}{p_1}$$

dosadíme

$$dG = -V_1 g_{1,0} \left(\frac{p_1}{p_{1,0}} \right)^{\frac{1}{n}} \left(\frac{1}{n} \cdot \frac{dp_1}{p_1} + \frac{dV_1}{V_1} \right) \quad (16)$$

Porovnáme rovnice (11) a (16)

$$\mu f \sqrt{g p_1 g_1} \cdot \psi dt = -V_1 g_{1,0} \left(\frac{p_1}{p_{1,0}} \right)^{\frac{1}{n}} \left(\frac{1}{n} \frac{dp_1}{p_1} + \frac{dV_1}{V_1} \right) \quad (17)$$

z rovnice (13)

$$\mu f \sqrt{g p_{1,0} g_{1,0}} \left(\frac{p_1}{p_{1,0}} \right)^{1+\frac{1}{n}} \psi dt =$$

$$= -V_1 g_{1,0} \left(\frac{p_1}{p_{1,0}} \right)^{\frac{1}{n}} \left(\frac{1}{n} \frac{dp_1}{p_1} + \frac{dV_1}{V_1} \right)$$

$$-\frac{\mu f \psi}{V_1} \sqrt{g p_{1,0} g_{1,0}^{(-1)} \left(\frac{p_1}{p_{1,0}} \right)^{1+\frac{1}{n}-\frac{2}{n}}} dt = \frac{1}{n} \frac{dp_1}{p_1} + \frac{dV_1}{V_1}$$

$$-\frac{\mu f \psi}{V_1} \sqrt{g \frac{p_{1,0}}{g_{1,0}} \left(\frac{p_1}{p_{1,0}} \right)^{1-\frac{2}{n}}} dt - \frac{dV_1}{V_1} = \frac{1}{n} \frac{d \left(\frac{p_1}{p_{1,0}} \right)}{\frac{p_1}{p_{1,0}}} \quad (18)$$

Rovnici (18) popisující proces změny tlaku v nádobe, nelze integrat,

jelikož jsou proměnné $\frac{p_1}{p_{10}}, V_1, \psi$ a t a v některých případech i f. Je nutné sestavit doplňující rovnice.

ψ určíme rovnici ⑥ nebo ⑧ což závisí na tom, při jakém režimu probíhá děj. Jestliže vzduch vytéká do atmosféry, pak $p_2 = \text{konst.}$

Tímto byl dorušen výtok vzduchu z nádoby teoreticky a je nutné uvést, že konkrétní výpočtení je značně složité.

Naplnění levé části válce vzduchem
při nepohybujícím se pistu.

Jelikož v počátečním okamžiku
 $E = \frac{p_{ez}}{p_0} < E_{KR}$ plnění levé části
 válce bude probíhat zpočátku
 při nadkritických poměrech.

$$Q_{KR} = \mu \cdot g_0 \cdot f \sqrt{g k R T_0} \sqrt{\left(\frac{2}{k+1}\right)^{\frac{k+1}{k-1}}}$$

kde p_0 , g_0 a T_0 jsou parametry
 vzduchu v zařízení.

Jelikož objem je konstantní, pak
 když použiji rovnici (16) vyjde

$$Q dt = dG_e = V_{ez} \cdot p_{ez} \cdot \frac{1}{n p_{ez}} \left(\frac{p_e}{p_{ez}}\right)^{\frac{1-n}{n}} dp_e$$

$$dt = \frac{V_{ez} \cdot p_{ez}}{p_{ez} \cdot n \cdot Q} \left(\frac{p_e}{p_{ez}}\right)^{\frac{n-1}{n}} dp_e \quad (19)$$

Při kritických poměrech plnění válce čas plnění levé části válce je roven

$$t = \frac{V_{ez} \cdot g_{lez}}{n P_{ez}^{\frac{1}{n}} \cdot Q_{KR}} \int_{P_{ez}}^{P_e} \frac{dP_e}{P_e^{\frac{n-1}{n}}} \\ = \frac{V_{ez} \cdot g_{lez}}{P_{ez}^{\frac{1}{n}} \cdot Q_{KR}} \left(-P_{ez}^{\frac{1}{n}} + P_e^{\frac{1}{n}} \right) \quad (20)$$

Tato rovnice platí v rozmezí od P_{ez} do P_{eKR} .

$$P_e = P_{ez} \left(1 + \frac{Q_{KR}}{g_{lez} V_{ez}} \cdot t \right)^n \quad (21)$$

Až tlak v levé části válce dosáhne kritického a pist se ještě nezastane pohybovat, další plnění už bude probíhat při podkritických podmínkách. Pak vycházím z rovnice (5)

$$Q = \mu \cdot f \cdot \rho_0 \sqrt{g R T_0} \cdot \sqrt{\frac{2K}{K-1}} \sqrt{E_e^{\frac{2}{K}} - E_e^{\frac{K+1}{K}}}$$

kde $E_e = \frac{p_e}{p_0}$ $E_{ez} = \frac{p_{ez}}{p_0}$

do rovnice (19) dosadím za Q

$$t - t_{KR} = \frac{V_{ez} \cdot E_{ez}^{\frac{n-1}{n}} \cdot p_0 \sqrt{\frac{K-1}{2K}}}{n R T_0 \mu f \rho_0 \sqrt{g R T_0}} \int_{E_{KR}}^E \frac{dE_e}{E_e^{\frac{n-1}{n}} \sqrt{E_e^{\frac{2}{K}} - E_e^{\frac{K+1}{K}}}}$$

Po úpravách dostaneme konečný vzorec

$$t - t_{KR} = \frac{V_{ez} E_{ez}^{\frac{n-1}{n}} T_0}{n \mu f \sqrt{g R T_0} \cdot T_z} \cdot \int_{E_{KR}}^E \frac{dE}{E_e^{\frac{n-1}{n}} \sqrt{E_e^{\frac{2}{K}} - E_e^{\frac{K+1}{K}}}} \quad (22)$$

Vzorce (20) a (22) nám udávají změnu tlaku v levé části v závislosti na čase až do doby, kdy se začne pohybovat píst.

Výtok vzduchu z pravé části válce.

Podle poměru počátečního tlaku k atmosférickému může docházet k výtoku v nadkritické nebo podkritické oblasti.

Vyjdeme z rovnice ⑯

$$\frac{1}{m} \frac{\frac{d\left(\frac{P_p}{P_{pz}}\right)}{P_p}}{\frac{P_p}{P_{pz}}} = \frac{\mu \cdot \psi \cdot f_p}{V_{pz}} \sqrt{g \frac{P_{pz}}{\gamma_{pz}} \left(\frac{P_p}{P_{pz}}\right)^{1-\frac{1}{n}}} dt \quad ⑯$$

$$\left(\frac{P_p}{P_{pz}}\right)^{1-\frac{n-1}{2n}} \cdot d\left(\frac{P_p}{P_{pz}}\right) = -\frac{\mu \psi f_p}{V_{pz}} \sqrt{g \frac{P_{pz}}{\gamma_{pz}}} dt$$

pro nadkritický stav

$$\left(\frac{P_p}{P_{pz}}\right)^{\frac{1-3n}{2n}} \cdot d\left(\frac{P_p}{P_{pz}}\right) = -\frac{\mu \psi_{max} f_p}{V_{pz}} \sqrt{g R T_p} dt \quad ⑰$$

$$\int_{P_{pz}}^{P_p} \left(\frac{P_p}{P_{pz}}\right)^{\frac{1-3n}{2n}} \cdot d\left(\frac{P_p}{P_{pz}}\right) = -\frac{\mu \psi_{max} f_p}{V_{pz}} \sqrt{g R T_p} \int_0^t dt$$

$$\frac{1}{\frac{1-3n}{2n}+1} (p_p - p_{pz}) = - \frac{n \mu \psi_{max} f_p}{V_{pz}} \sqrt{g R T_p \cdot t}$$

$$\left(\frac{p_p}{p_{pz}} \right)^{\frac{1-n}{2n}} = - \frac{1-n}{2n} \frac{n \mu \psi_{max} f_p}{V_{pz}} \sqrt{g R T_p \cdot t}$$

$$p_p = p_{pz} \cdot \left[1 + \frac{n-1}{2} \frac{\mu \psi_{max} f_p}{V_{pz}} \sqrt{g R T_p \cdot t} \right]^{\frac{2n}{1-n}} \quad (25)$$

při podkritickém režimu výtoku
ma' koeficient ψ v souladu s rov-
nicí (6) tvar

$$\psi = \sqrt{\frac{2k}{k-1}} \left(E_p^{\frac{2}{k}} - E_p^{\frac{k+1}{k}} \right)$$

$E_p = \frac{p_{op}}{p_p}$ kde p_{op} je tlak atmosfe-
ricky (převažně)

p_p je tlak v pravé části
válců.

v rovnici (18) platí, že

$$\frac{dV_p}{V_p} = 0 \quad p_{1,0} = p_{pz} \quad j_{1,0} = j_{pz}$$

$$d\left(\frac{P_p}{P_{pz}}\right) = -\frac{\mu f n}{V_{pz}} \sqrt{\frac{2gk P_{pz}}{(k-1) \gamma_{pz}}} \left(\frac{P_p}{P_{pz}}\right)^{\frac{3n-1}{2n}} \sqrt{\epsilon_p^{\frac{2}{k}} - \epsilon_p^{\frac{k+1}{k}}} dt$$

zavedeme výrazy

$$\epsilon = \frac{P_{op}}{P_p} \quad \text{a} \quad \epsilon_p = \frac{P_{op}}{P_{pz}}$$

$$d\left(\frac{P_p}{P_{pz}}\right) = d\left(\frac{P_p}{P_{op}} \cdot \frac{P_{op}}{P_{pz}}\right) = d\left(\frac{\epsilon_z}{\epsilon}\right) = -\frac{\epsilon_z}{\epsilon^2} \cdot d\epsilon$$

$$dt = \frac{V_{pz}}{\mu \cdot f \cdot n} \sqrt{\frac{(k-1) \gamma_{pz}}{2gk P_{pz}}} \cdot \frac{d\epsilon}{\epsilon_z^{\frac{n-1}{2n}} \cdot \epsilon^{\frac{n+1}{2n}} \sqrt{\epsilon^{\frac{2}{k}} - \epsilon^{\frac{k+1}{k}}}}$$

$$t - t_{KR} = \frac{V_{pz}}{\mu \cdot f \cdot n} \sqrt{\frac{(k-1) \gamma_{pz}}{2gk P_{pz}}} \cdot \int_{\epsilon_{KR}}^{\epsilon} \frac{d\epsilon}{\epsilon_z^{\frac{n-1}{2n}} \cdot \epsilon^{\frac{n+1}{2n}} \sqrt{\epsilon^{\frac{2}{k}} - \epsilon^{\frac{k+1}{k}}}} \quad (26)$$

Rovnice (26) umožňuje najít trvání $t - t_{KR}$
a sestrojit graf změny $t - t_{KR}$ v závislosti
na funkci ϵ .

Závislosti změny tlaku v pravé a levé
části válce umožňují určit velikost pří-
pravného času t_{pr} . Do jednoho grafu
zakreslime křivky změn tlaku p_e a P_p .
Jelikož nám působí na pisti menší síla P ,

pak rovnice rovnováhy sil na pístu v okamžiku počátku pohybu zni'

$$P = F(\varphi p_e - p_p)$$

(27)

Změna tlaku vzduchu v pravé i levé části válce za pohyb pístu.

Pro zjednodušení předpokládáme, že tlak na vstupu do válce je konstantní. V předešlém bylo dokázáno, že moment počátku pohybu pístu odpovídá momentu, kdy tlakové sily jsou v rovnováze.

Nejprve stanovíme zákon změny tlaku v každé z obou částí válce v době pohybu pístu, předpokládaje že píst je ve vzdálenosti x od levé krajní polohy. Váhové množství vzduchu uzavřené v levé části válce

$$G_e = f(V_e, \rho_e) = (\ell_e + x)\varphi \cdot F \cdot \rho_e$$

(28)

V pravé části valce

$$G_p = f(V_p, g_p) = (l_p + H - x) F \cdot g_p \quad (29)$$

Přírůstek vahového množství vzduchu v obou částech valce zjistíme diferenčním rovnicí pro přivedená množství.

$$dG_e = (l_e + x) \varphi \cdot F \cdot dg_e + \varphi \cdot F \cdot g_e \cdot dx \quad (30)$$

$$dG_p = (l_p + H - x) F \cdot dg_p - F \cdot g_p \cdot dx \quad (31)$$

Přírůstek vahového množství vzduchu ve valci můžeme určit také vyjádřením množství vzduchu, které přiteče a odteče za dobu dt z valce.

$$dG_e = Q_e \cdot dt \quad dG_p = -Q_p \cdot dt \quad (32)$$

Vterinová množství Q_e a Q_p závisí na tom, jestli výtok a vtok je nadkriticky nebo podkriticky a mohou být určena z dříve uvedených rovnic.

Porovnáním rovnic (30), (31) a (32) dostaneme

$$(l_e + x) \varphi F \cdot dg_e + \varphi F \cdot g_e \cdot dx = Q_e \cdot dt \quad (33)$$

$$(l_p + H - x) F \cdot dg_p - F \cdot g_p \cdot dx = -Q_p \cdot dt \quad (34)$$

Vyjádříme $\frac{pe}{pez}$ a $d\frac{pe}{pez}$

$$\frac{pe}{pez} = \left(\frac{pe}{pez}\right)^{\frac{1}{n}} \quad d\frac{pe}{pez} = \frac{pez}{n} \left(\frac{pe}{pez}\right)^{\frac{1}{n}-1} \cdot d\left(\frac{pe}{pez}\right)$$

$$\frac{d\frac{pe}{pez}}{\frac{pe}{pez}} = \frac{1}{n} \frac{pez}{pe} d\left(\frac{pe}{pez}\right) \quad (35)$$

$$\frac{d\frac{pp}{ppz}}{\frac{pp}{ppz}} = \frac{1}{n} \frac{ppz}{pp} d\left(\frac{pp}{ppz}\right) \quad (36)$$

Upravíme rovnice (33) a (34)

$$\frac{(le+x)\varphi \cdot F}{n} \cdot \left(\frac{pe}{pez}\right)^{\frac{1-n}{n}} \cdot d\left(\frac{pe}{pez}\right) + \varphi F \left(\frac{pe}{pez}\right)^{\frac{1}{n}} dx = \\ = - \frac{Q_e dt}{pez} \quad (37)$$

$$\frac{(lp+H-x)F}{n} \left(\frac{pp}{ppz}\right)^{\frac{1-n}{n}} \cdot d\left(\frac{pp}{ppz}\right) - F \left(\frac{pp}{ppz}\right)^{\frac{1}{n}} dx = \\ = - \frac{Q_p dt}{ppz} \quad (38)$$

Tyto diferenciální rovnice samy o sobě nemohou být řešeny. Je nutno použít ještě rovnice pohybu mechanismu v diferenciálním tvaru.

Tlak v obou částech valce je funkcií 2 proměnných a to x a t .

V souladu s tímto je úplný diferenciál tlaku

$$dp = \frac{\partial p}{\partial t} dt + \frac{\partial p}{\partial x} dx \quad (39)$$

Porovnáním rovnice (39) s rovnicemi

$$(37) \text{ a } (38) \text{ určíme } \frac{\partial p}{\partial t} \text{ a } \frac{\partial p}{\partial x}$$

$$\frac{\partial p_e}{\partial t} = \frac{n p_{ez} \cdot Q_e}{g p_{ez} (L_e + x) \varphi F} \left(\frac{p_e}{p_{ez}} \right)^{\frac{n-1}{n}} \quad \left. \begin{array}{l} \\ \end{array} \right\} (40)$$

$$\frac{\partial p_e}{\partial x} = - \frac{n p_{ez}}{L_e + x} \cdot \frac{p_e}{p_{ez}}$$

$$\frac{\partial p_p}{\partial t} = - \frac{n p_{pz} Q_p}{g p_{pz} (L_p + H - x)} \cdot \left(\frac{p_p}{p_{pz}} \right)^{\frac{n-1}{n}} \quad \left. \begin{array}{l} \\ \end{array} \right\} (41)$$

$$\frac{\partial p_p}{\partial x} = \frac{n p_{pz}}{L_p + H - x} \cdot \frac{p_p}{p_{pz}}$$

Výrazy pro parciální derivace tlaku v pravé i levé části válce budou potřebné pro řešení obecného případu pneumatického mechanismu, majícího proměnnou hmotu, na kterou působí síly závislé na čase, poloze a rychlosti.

Brzdění pistu v krajní poloze

Může probíhat 2 způsoby a to:

1) Protitlakem

2) Škrcením na výtoku z válce

Budu se zabývat jen druhým případem, jelikož ten je použit u mnoha navrženého pneumatického mechanismu.

Pro tento případ budou platit rovnice

(37) a (38) protože se jedná o zrychlený pohyb vlivem tlaku v levé části válce.

Počáteční uverňové množství proteklé přes škrťící ventil je rovno

$$Q_{ps} = -\mu f s \psi \sqrt{g \cdot p_0 \cdot \gamma_p}$$

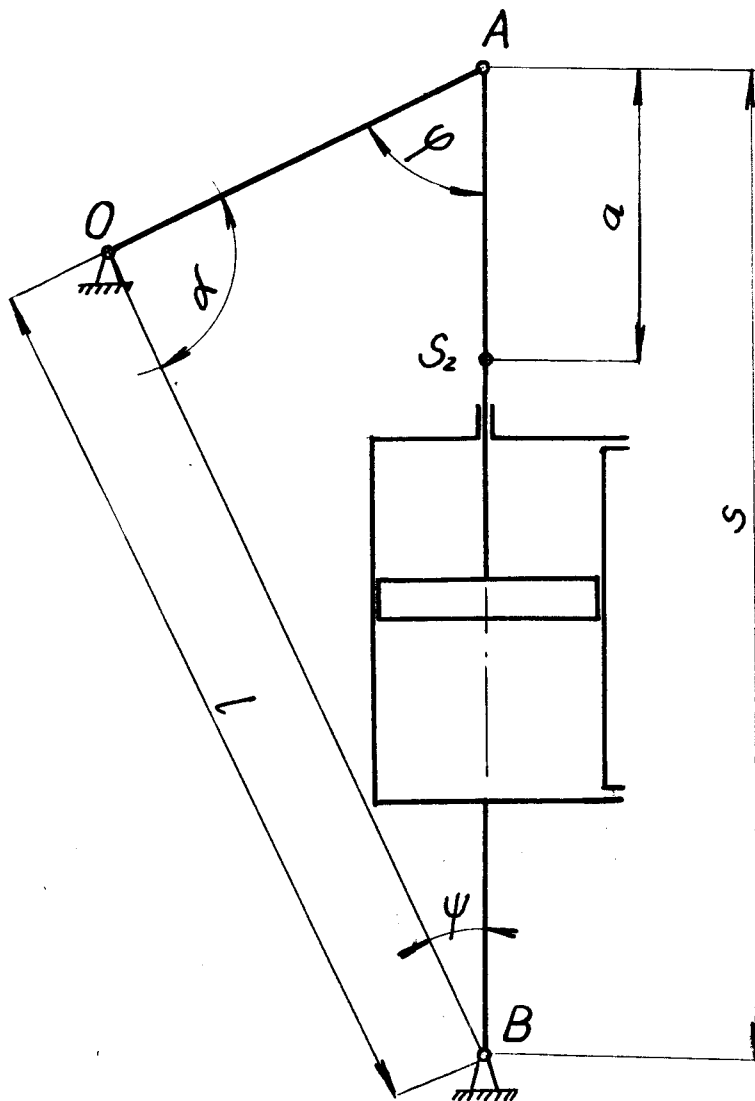
(42)

$$\psi_{podkritické} = \sqrt{\frac{2k}{k-1} \left[\left(\frac{p_o}{p_p}\right)^{\frac{2}{k}} - \left(\frac{p_o}{p_p}\right)^{\frac{k+1}{k}} \right]}$$

$$\psi_{nadkritické} = \sqrt{k \left(\frac{2}{k+1}\right)^{\frac{k+1}{k-1}}}$$

Nejčastějsí je brzdění pistu při nadkritickém stavu.

Obecný výpočet kulisového pneumatického
mechanismu s proměnnou hmotou
vztaženou na pist.



Za úkol je sestavit rovnici pohybu pistu ve formě dřívající možnost získat řešení při použití sil závisejících na dráze, rychlosti a čase. Dále chci naznačit cestu řešení této pohybové rovnice.

Vztah rychlosti bodu A vrahadla a rychlosti pistu v má vztah

$$\frac{V_A}{V} = \frac{1}{\sin \varphi}$$

$$\cos \varphi = \frac{r^2 + s^2 - l^2}{2sr} = \frac{\lambda^2 + \sigma^2 - 1}{2\lambda\sigma} \quad (43)$$

$$\begin{aligned} \cos \varphi &= \frac{s - r \cdot \cos \varphi}{l} = \sigma - \lambda \cos \varphi = \\ &= \frac{1 + \sigma^2 - \lambda^2}{2\sigma} \end{aligned} \quad (44)$$

$$\lambda = \frac{r}{l} \qquad \sigma = \frac{s}{l}$$

$$V_A = \frac{V}{\sin \varphi} = V \sqrt{\frac{2\lambda\sigma}{4\lambda^2 - (1 + \lambda^2 - \sigma^2)^2}} \quad (45)$$

$$v_A = \dot{\theta} \frac{2\lambda\tilde{\theta}}{\sqrt{4\lambda^2 - (1 + \lambda^2 - \tilde{\theta}^2)^2}} = \dot{\theta} f_1(\tilde{\theta}) \quad (46)$$

Úhlorovou rychlosť valice i tyče $v_2 = \frac{d\psi}{dt}$
môžeme dostat z diferenciálnej rov-
nice (44)

$$-\sin\psi \frac{d\psi}{dt} = \frac{d}{dt} \left(\frac{1 + \tilde{\theta}^2 + \lambda^2}{2\tilde{\theta}} \right) = \dot{\theta} \frac{\tilde{\theta}^2 - 1 + \lambda^2}{2\tilde{\theta}^2} \quad (47)$$

$$\dot{\psi} = \frac{d\psi}{dt} = \frac{1 - \lambda^2 - \tilde{\theta}^2}{2\tilde{\theta}^2 \sin\psi} \cdot \dot{\theta} = \frac{1 - \lambda^2 - \tilde{\theta}^2}{\tilde{\theta} \sqrt{4\tilde{\theta}^2 - (1 + \lambda^2 - \tilde{\theta}^2)^2}} \cdot \dot{\theta} \quad (48)$$

$$\dot{\psi} = \dot{\theta} \cdot f_2(\tilde{\theta}) \quad (49)$$

Rychlosť težište pístu a pístnej tyče
 s_2 najdeme z rovnice

$$v_{s_2} = \sqrt{v^2 + (s-a)^2 \dot{\psi}^2} = \dot{\theta} \sqrt{f_1^2(\tilde{\theta}) + (\tilde{\theta} - \alpha)^2 f_2^2(\tilde{\theta})}$$

$$v_{s_2} = \dot{\theta} / f_3(\tilde{\theta}) \quad \alpha = \frac{a}{l} \quad (50)$$

Tímto zpôsobem môžeme určiť každou

rychlosť určující kinetickou energii mechanismu ve funkci poměrné souřadnice $\tilde{G} = \frac{s}{l}$. Při konkrétních výpočtech lze význam funkci $f_1(\tilde{G})$, $f_2(\tilde{G})$ a $f_3(\tilde{G})$ těžko analyticky vypočítat, proto můžeme využít metodu plánu rychlosti, když vezmeme za nezávisle proměnnou souřadnici \tilde{G} a výsledek výpočtu znázorníme odpovídajícími grafy.

Skutečnou rychlosť pistu a tím i rychlosť liborolného bodu článku mechanismu můžeme určit integrováním pohybově rovnice v diferenciální formě, např. Lagrangeovy rovnice II. stupně.

$$\frac{d}{dt} \left(\frac{\partial E}{\partial v} \right) - \frac{\partial E}{\partial s} = Q$$

(51)

kde $E = \frac{mv^2}{2}$... kinetická energie pro-měnné hmoty m
 $s a v$... přemístění a rychlosť pistu
v daném případě

$$v = l \cdot \dot{\theta}, \quad s = l \cdot \theta$$

pohybora' rovnice pro diferencování
ma' tvar

$$lm \ddot{\theta} + l \frac{\dot{\theta}}{2} \frac{dm}{dt} = Q \quad (52)$$

$$m \frac{d\dot{\theta}}{dt} + \frac{\dot{\theta}}{2} \frac{dm}{dt} = \frac{Q}{l} \quad (53)$$

* Redukovaná hmota m přivedena k povrchnému pohybu s rychlosťí v v pevném vedení pistu je vyjádřena' rovnici

$$m = m_n \left(\frac{V_{S2}}{V} \right)^2 + (J_n + J_3) \left(\frac{\dot{\psi}}{V} \right)^2 + m_A \left(\frac{V_A}{V} \right)^2$$

Jestliže zaměníme vztahy rychlosťí výrazy dríve nalezenými dostaneme

$$m = m_n f_3^2(\dot{\theta}) + \frac{J_n + J_3}{l^2} f_2^2(\dot{\theta}) + m_A f_1^2(\dot{\theta}) = m(\dot{\theta})$$

Rovnici (53) lze napsat i v této podobě

$$d(m \dot{\theta}) - \frac{1}{2} \dot{\theta} dm = \frac{Q dt}{l} \quad (54)$$

Jelikož na počátku pohybu v úvratí je $\ddot{\sigma} = 0$, $m = m_0$ a $Q = f(t, \sigma) = Q_0$

$$\text{dostáváme } m\ddot{\sigma} - \frac{1}{2}\int \dot{\sigma} dm = \frac{1}{L}\int Q dt$$

(55)

Aršak tuto diferenciální rovnici nemůžeme využít, protože integrály nemohou být vypočítány jestliže $Q = f(t, \sigma)$ a $m = m(\sigma)$.

Důsledkem toho je nutno použít metodu číselného integrování, rozdělit dobu pohybu na intervaly a vypočítat pro konec každého z nich veličiny, které nás zajímají a závisí na počátečních podmínkách

$$t = 0, \dot{\sigma} = 0, m = m_0, \sigma = \sigma_0, Q = Q_0$$

Nyní z rovnice (53) po nahrazení proměnlivých veličin vztahem konečně malých přírůstků funkcí dostaneme

pro $t = 0$

$$m_0 \ddot{\sigma}_0 = \frac{Q_0}{L}$$

$$\ddot{\sigma}_0 = \frac{Q_0}{m_0 L}$$

pro $t = \Delta t$

$$m_1 \cdot \frac{\Delta_1 \dot{\sigma}}{\Delta t} + \frac{\dot{\sigma}_1}{2} \frac{\Delta_1 m}{\Delta t} = \frac{Q_1}{l}$$

$$t_2 = 2\Delta t$$

$$m_2 \cdot \frac{\Delta_2 \dot{\sigma}}{\Delta t} + \frac{\dot{\sigma}_2}{2} \frac{\Delta_2 m}{\Delta t} = \frac{Q_2}{l} \quad \text{atd}$$

(56)

Když sečteme v intervalu Δt všechny funkce, které se mění lineárně, můžeme pro doplnění rovnic (56) napsat

$$m_1 = m_0 + \left(\frac{\partial m}{\partial \sigma} \right)_0 \Delta_1 \sigma$$

$$m_2 = m_1 + \left(\frac{\partial m}{\partial \sigma} \right)_1 \Delta_2 \sigma \quad \text{atd}$$

$$Q_1 = Q_0 + \left(\frac{\partial Q}{\partial \sigma} \right)_0 \Delta_1 \sigma + \left(\frac{\partial Q}{\partial t} \right)_0 \Delta t$$

$$Q_2 = Q_1 + \left(\frac{\partial Q}{\partial \sigma} \right)_1 \Delta_2 \sigma + \left(\frac{\partial Q}{\partial t} \right)_1 \Delta t \quad \text{atd}$$

$$\Delta_1 \dot{\sigma} = \dot{\sigma}_1 - \dot{\sigma}_0$$

$$\Delta_2 \dot{\sigma} = \dot{\sigma}_2 - \dot{\sigma}_1 \quad \text{atd}$$

$$\dot{\sigma}_1 = \dot{\sigma}_0 + \Delta_1 \dot{\sigma}$$

$$\dot{\sigma}_2 = \dot{\sigma}_1 + \Delta_2 \dot{\sigma} \quad \text{atd}$$

$$\dot{\sigma}_0 = \frac{\Delta_1 \sigma}{\Delta t}$$

$$\dot{\sigma}_2 = \frac{\Delta_2 \sigma}{\Delta t} \quad \text{atd}$$

Tyto rovnice dosadím do rovnic (56) a po úpravách obdržím

$$\frac{3}{2} \left(\frac{\partial m}{\partial \dot{\sigma}} \right)_0 \Delta_1^2 \ddot{\sigma} + \left[m_0 - \left(\frac{\partial m}{\partial \dot{\sigma}} \right)_0 \dot{\sigma}_0 \Delta t - \left(\frac{\partial Q}{\partial \dot{\sigma}} \right)_0 \frac{\Delta^2 t}{L} \right] \Delta_1 \ddot{\sigma} = \\ = m_0 \dot{\sigma}_0 \Delta t + \frac{Q_0}{L} \Delta^2 t + \left(\frac{\partial Q}{\partial t} \right)_0 \frac{\Delta^3 t}{L}$$

$$\frac{3}{2} \left(\frac{\partial m}{\partial \dot{\sigma}} \right)_1 \Delta_2^2 \ddot{\sigma} + \left[m_1 - \left(\frac{\partial m}{\partial \dot{\sigma}} \right)_1 \dot{\sigma}_1 \Delta t - \left(\frac{\partial Q}{\partial \dot{\sigma}} \right)_1 \frac{\Delta^2 t}{L} \right] \Delta_2 \ddot{\sigma} = \\ = m_1 \dot{\sigma}_1 \Delta t + \frac{Q_1}{L} \Delta^2 t + \left(\frac{\partial Q}{\partial t} \right)_1 \frac{\Delta^3 t}{L} \quad (57)$$

Jestliže je síla Q ještě i funkcí rychlosti $Q = f(\sigma, \dot{\sigma}, t)$ potom rovnice (57) má již tvar

$$\frac{3}{2} \left(\frac{\partial m}{\partial \dot{\sigma}} \right)_0 \Delta_1^2 \ddot{\sigma} + \left[m_0 - \frac{\Delta t}{L} \left(\frac{\partial Q}{\partial \dot{\sigma}} \right)_0 - \left(\frac{\partial m}{\partial \dot{\sigma}} \right)_0 \dot{\sigma}_0 \Delta t - \right. \\ \left. - \left(\frac{\partial Q}{\partial \dot{\sigma}} \right)_0 \frac{\Delta^2 t}{L} \right] \Delta_1 \ddot{\sigma} = \left[m_0 - \frac{\Delta t}{L} \left(\frac{\partial Q}{\partial \dot{\sigma}} \right)_0 \right] \dot{\sigma}_0 \Delta t + \\ + \frac{Q_0}{L} \Delta^2 t + \left(\frac{\partial Q}{\partial t} \right)_0 \Delta^3 t$$

$$\frac{3}{2} \left(\frac{\partial m}{\partial \tilde{\sigma}} \right)_1 \Delta_2^2 \tilde{\sigma} + \left[m_1 - \frac{\Delta t}{l} \left(\frac{\partial Q}{\partial \tilde{\sigma}} \right)_1 - \left(\frac{\partial m}{\partial \tilde{\sigma}} \right)_1 \tilde{\sigma}_1 \Delta t - \left(\frac{\partial Q}{\partial \tilde{\sigma}} \right)_1 \frac{\Delta^2 t}{l} \right] \Delta_2 \tilde{\sigma} = \left[m_1 - \frac{\Delta t}{l} \left(\frac{\partial Q}{\partial \tilde{\sigma}} \right)_1 \right] \tilde{\sigma}_1 \Delta t + \\ + \frac{Q_1}{l} \Delta^2 t + \left(\frac{\partial Q}{\partial t} \right)_1 \Delta^3 t$$
(58)

Jestliže stanovíme předběžně analyticky nebo graficky tvary funkcí $Q=f(\tilde{\sigma}, t)$ a $m=m(\tilde{\sigma})$ není těžké najít postupně také velikost koeficientů při hledaných přírůstcích $\Delta_1 \tilde{\sigma}$, $\Delta_2 \tilde{\sigma}$ atd., t.j. velikost parciaálních derivací funkcí Q a m pro začátek každého intervalu.

Při dostatečně malých intervalech Δt jsou některé scítance male' druhého řádu a můžeme je zanedbat, jestliže $\frac{\partial m}{\partial \tilde{\sigma}}$ a $\frac{\partial Q}{\partial t}$ jsou nepatrne'.

V takovém případě se rovnice pro přírůstky dráhy přemísťení pistu stavají

lineárními

$$\Delta_1 \tilde{G} = \frac{m_0 \tilde{G}_0 \Delta t + \frac{Q_0}{L} \Delta^2 t}{m_0 - \left(\frac{\partial m}{\partial \tilde{G}} \right)_0 \tilde{G}_0 \Delta t - \left(\frac{\partial Q}{\partial \tilde{G}} \right)_0 \frac{\Delta^2 t}{L}}$$

$$\dot{\tilde{G}}_1 = \frac{m_0 \dot{\tilde{G}}_0 + \frac{Q_0}{L} t}{m_0 - \left(\frac{\partial m}{\partial \tilde{G}} \right)_0 \tilde{G}_0 \Delta t - \left(\frac{\partial Q}{\partial \tilde{G}} \right)_0 \frac{\Delta^2 t}{L}}$$
(59)

Analogické výrazy obdržíme pro případ, že síla Q je funkcií souřadnice, rychlosti a času. Precizeji výrazy dostaneme z rovnice (57) nebo (58) když řešíme kvadratickou rovnici vzhledem k $\Delta \tilde{G}$.

Z rovnice (58) pro $Q = f(\tilde{G}, r)$ dostáváme

$$\Delta_1 \tilde{G} = \frac{-1 + \sqrt{1 + 4a_1 c_1}}{2a_1}, \quad \Delta_2 \tilde{G} = \frac{-1 + \sqrt{1 + 4a_2 c_2}}{2a_2} \quad (60)$$

kde

$$a_1 = \frac{3 \left(\frac{\partial m}{\partial \tilde{G}} \right)_0}{2 \left[m_0 - \left(\frac{\partial m}{\partial \tilde{G}} \right)_0 \tilde{G}_0 \Delta t - \left(\frac{\partial Q}{\partial \tilde{G}} \right)_0 \frac{\Delta^2 t}{L} \right]}$$

$$a_2 = \frac{3 \left(\frac{\partial m}{\partial \sigma} \right)_1}{2 \left[m_1 - \left(\frac{\partial m}{\partial \sigma} \right)_1 \dot{\sigma}_1 \Delta t - \left(\frac{\partial Q}{\partial \sigma} \right)_1 \frac{\Delta^2 t}{L} \right]}$$

$$c_1 = \frac{m_0 \dot{\sigma}_0 \Delta t + \frac{Q_0 \Delta^2 t}{L} + \left(\frac{\partial Q}{\partial t} \right)_0 \frac{\Delta^2 t}{L}}{m_0 - \left(\frac{\partial m}{\partial \sigma} \right)_0 \dot{\sigma}_0 \Delta t - \left(\frac{\partial Q}{\partial \sigma} \right)_0 \frac{\Delta^2 t}{L}}$$

$$c_2 = \frac{m_1 \dot{\sigma}_1 \Delta t + \frac{Q \Delta^2 t}{L} + \left(\frac{\partial Q}{\partial t} \right)_1 \frac{\Delta^2 t}{L}}{m_1 - \left(\frac{\partial m}{\partial \sigma} \right)_1 \dot{\sigma}_1 \Delta t - \left(\frac{\partial Q}{\partial \sigma} \right)_1 \frac{\Delta^2 t}{L}}$$

Velikost parciaálních derivací přivedené sily Q podle σ a t můžeme určit ze vzdušného režimu v komorách válce,

$$Q = F(\varphi \cdot p_e - p_p) - T$$

(61)

kde T je vnější odpor, který může být stálý nebo funkci s a t.

p_e, p_p ... tlaky v obou částech válce
Malý konečný přírůstek sily Q může

být vyjádřen přírůstky proměnných
t.j.

$$\Delta Q = \varphi F \Delta p_e - F \Delta p_p - \Delta T \quad (62)$$

nebo

$$\Delta Q = \frac{\partial Q}{\partial \sigma} \Delta \sigma + \frac{\partial Q}{\partial t} \Delta t \quad (63)$$

$$\Delta p_e = \frac{\partial p_e}{\partial x} \Delta x + \frac{\partial p_e}{\partial t} \Delta t = \frac{\partial p_e}{\partial \sigma} \Delta \sigma + \frac{\partial p_e}{\partial t} \Delta t \quad (64)$$

$$\Delta p_p = \frac{\partial p_p}{\partial x} \Delta x + \frac{\partial p_p}{\partial t} \Delta t = \frac{\partial p_p}{\partial \sigma} \Delta \sigma + \frac{\partial p_p}{\partial t} \Delta t \quad (65)$$

kde $x = \sigma \cdot l$

Provedeme-li dosazení Δp_e a Δp_p
do rovnice (62) a porovnáme výsledek
s rovnicí (63) dostaneme

$$\frac{\partial Q}{\partial \sigma} = F \left(\varphi \frac{\partial p_e}{\partial \sigma} - \frac{\partial p_p}{\partial \sigma} \right) - \frac{\partial T}{\partial \sigma}$$

$$\frac{\partial Q}{\partial t} = F \left(\varphi \frac{\partial p_e}{\partial t} - \frac{\partial p_p}{\partial t} \right) - \frac{\partial T}{\partial t}$$

Parciální derivace tlaku podle σ a t

}

(66)

se určí z rovnic 40 a 41, máme-li na zřeteli, že pro kulisový mechanismus platí

$$s + a = L + x \quad , \quad G \cdot l = L - a + x$$

$$dx = l dG$$

$$\frac{\partial p_e}{\partial t} = \frac{n \cdot Q_e \cdot p_{ez}}{g p_{ez} (l_e + x) \varphi \cdot F} \left(\frac{p_e}{p_{ez}} \right)^{\frac{n-1}{n}}$$

$$\frac{\partial p_e}{\partial G} = - \frac{n \cdot l \cdot p_{ez}}{l_e + x} \frac{p_e}{p_{ez}}$$

67

$$\frac{\partial p_p}{\partial t} = - \frac{n \cdot Q_p \cdot p_{pz}}{g p_{pz} (l_p + H - x) F} \left(\frac{p_p}{p_{pz}} \right)^{\frac{n-1}{n}}$$

$$\frac{\partial p_p}{\partial G} = - \frac{n \cdot l \cdot p_{pz}}{l_p + H - x} \frac{p_p}{p_{pz}}$$

Nalezené výrazy pro parciální derivace přivedené síly dovolují provést číselné

integrování rovnic (59) při čemž je nutné mít na zřeteli, že

$$\Delta_1 p_e = \left(\frac{\partial p_e}{\partial \sigma} \right)_0 \Delta_1 \sigma + \left(\frac{\partial p_e}{\partial t} \right)_0 \Delta t$$

$$\Delta_2 p_e = \left(\frac{\partial p_e}{\partial \sigma} \right)_1 \Delta_2 \sigma + \left(\frac{\partial p_e}{\partial t} \right)_1 \Delta t \quad \text{atd}$$

$$p_{e1} = p_{e2} + \Delta_1 p_e$$

$$p_{e2} = p_{e1} + \Delta_2 p_e \quad \text{atd}$$

(68)

(69)

Analogické výrazy je možno napsat pro tlaky v pravé části válce a jeho přírůstek.

Tato metoda určení zákona pohybu mechanismu s proměnnou hmotou, dovolující určit dobu chodu mechanismu, je vesměs složitá při číselných výpočtech. Řešení je výhodné provádět na elektronických počítacích strojích.

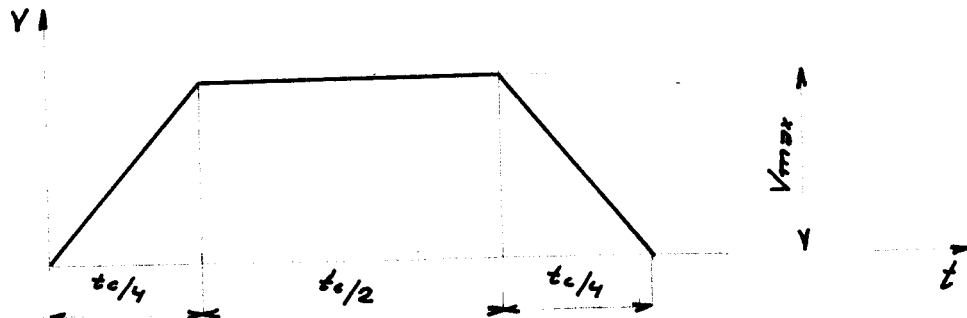
KONTROLA PNEUMATICKÉHO MECHANISMU.

Jelikož číselný výpočet pneumatického kulisového mechanismu dle teorie je značně složitý a vzhledem k tomu, že vstupní parametry vzduchu není možno zajistit, tento neprovádím a omezím se na zjištění dosažitelného zrychlení stolu. Pro pohon karuselu není rychlosť otáčení stolu určena ani technologickými ani funkčními vlastnostmi karuselu, nýbrž záleží jen na tom, aby nedocházelo k abnormálně velkému zrychlení stolu, což by při zpomalování mělo snad za následek lámání kapilární termolátky.

Zdvih pistu $H = 150 \text{ mm}$

Doba chodu $t_c = 0,5 \text{ sec}$

Za předpokladu, že zrychlování a zpomalování by činilo vždy $\frac{1}{4} t_c$ a dělo by se rovnoměrně, plán rychlosti by vypadal takto:

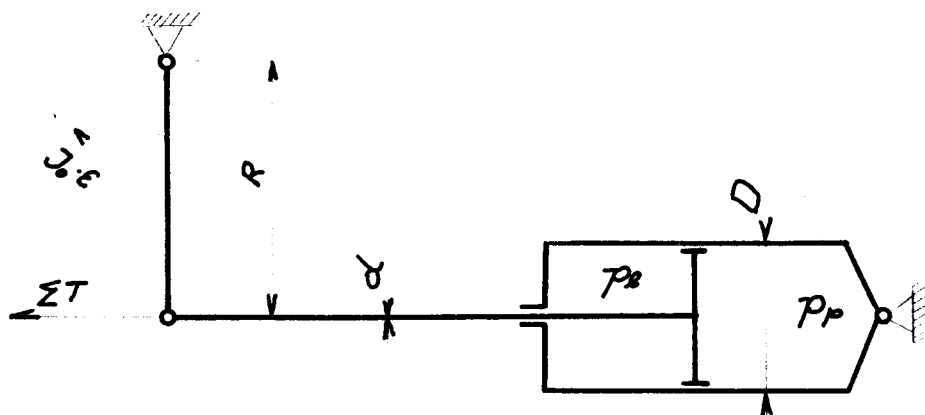


$$H = \frac{t_c}{2} \cdot V_{max} + 2 \cdot \frac{t_c}{4} \cdot \frac{V_{max}}{2} = \frac{3}{4} V_{max} \cdot t_c$$

$$V_{max} = \frac{4}{3} \cdot \frac{H}{t_c} = \frac{4 \cdot 0,75}{3 \cdot \frac{1}{120}} = 24 \text{ m/min}$$

$$\bar{a} = \frac{4 \cdot V_{max}}{t_c} = \frac{0,4 \cdot 4 \cdot 2}{1} = 3,2 \text{ m/sec}^2$$

Tato doba chodu odpovídá veliké
době chodu pneumatického mecha-
nismu karuselu pro navazování
krku televizních baněk v AVTB
ve Valašském Meziříčí.

Kontrola zrychlení pistu.

Rovnice rovnováhy pistu (pohybová).

$$\frac{J_0 \cdot \epsilon}{R} + \sum T_n = P$$

$$P = \frac{\pi D^2}{4} (\varphi \cdot p_e - p_p) \quad \varphi = \frac{D^2 - d^2}{D^2} = 0,91$$

$\sum T_n$ = součet pasivních odporů stolu

J_0 = moment setrvačnosti stolu

ϵ = zrychlení stolu

p_e = tlak na levou stranu pistu

p_p = tlak na pravou stranu pistu

D = průměr válce = 100 mm

d = průměr pistnice = 30 mm

Při výpočtu je zanedbávám:

1. Pasivní odpory kromě T_2 , což je tření v zábruse stolu.
2. Setrvací síly soupačí pneumatického mechanismu a pistole.
3. Sílu potřebnou pro pohon centrálního tlakového mazacího přístroje.

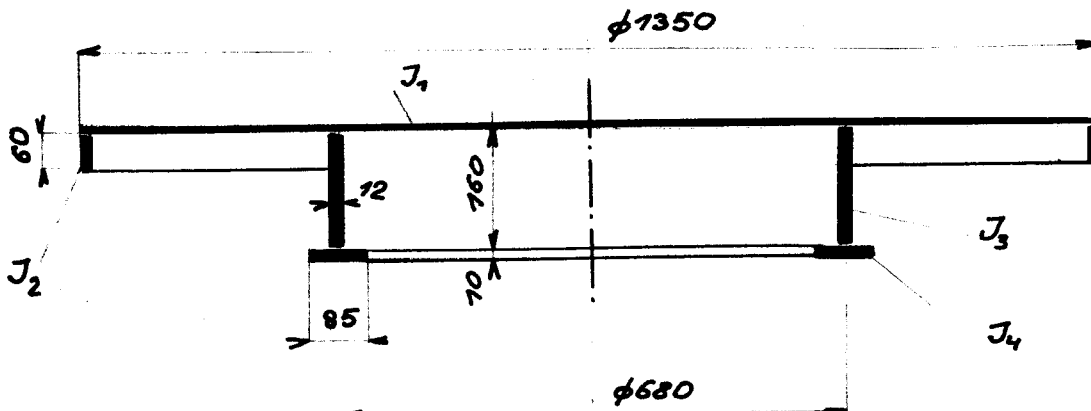
Jelikož výkyv kliky pneumatického mechanismu činí jen $17^{\circ}15'$ od střední polohy, která je kolmá na pistnici, zanedbávám změnu R .

Dále pro zjednodušení uvažuju

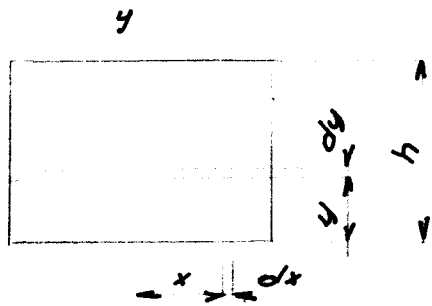
$$p_e = 4 \text{ atz}$$

$$p_p = p_{atm} = 1 \text{ atz}$$

Výpočet momentu setrváčnosti stolu.

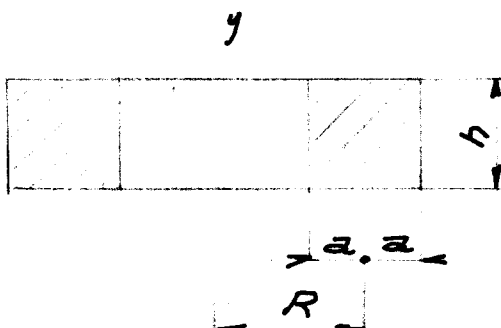


1. Odvození vzorce pro J valce



$$\begin{aligned}
 J_y &= \int x^2 dm = \\
 &= \mu \cdot \int_0^{2\pi} dy \int_0^h \int_0^r x^3 dx = \\
 &= \mu \cdot 2\pi \cdot \frac{\pi}{4} \cdot r^4 \cdot h = \frac{\pi}{2} \mu \cdot h \cdot r^4
 \end{aligned}$$

2. Pro prstence je odvození podobné'



$$J_z = 4\pi \mu \cdot h \cdot R \cdot \alpha / (R^2 + \alpha^2)$$

$$J_1 = \mu \cdot \frac{\pi}{2} \cdot 0,06 \cdot 6,75^4 = 75,7 \text{ kg dm s}^2$$

$$J_2 = 4\pi\mu \cdot 0,6 \cdot 6,77 \cdot 0,04 (6,77^2 + 0,04^2) = 7,4 \text{ kg dm s}^2$$

$$J_3 = 4\pi\mu \cdot 1,6 \cdot 3,4 \cdot 0,06 (3,4^2 + 0,06^2) = 4,73 \text{ kg dm s}^2$$

$$J_4 = 4\pi\mu \cdot 0,7 \cdot 3,4 \cdot 0,425 (3,4^2 + 0,425^2) = 1,84 \text{ kg dm s}^2$$

$$J_0 = J_1 + J_2 + J_3 + J_4 = 29,07 \text{ kg dm s}^2$$

$$\underline{J_0 = 29,07 \text{ kg dm s}^2}$$

$$\underline{G_{celkové} = 101 \text{ kg}}$$

Do momentu setrvačnosti stolu
nejsou zahrnuty a.) Termoláhev

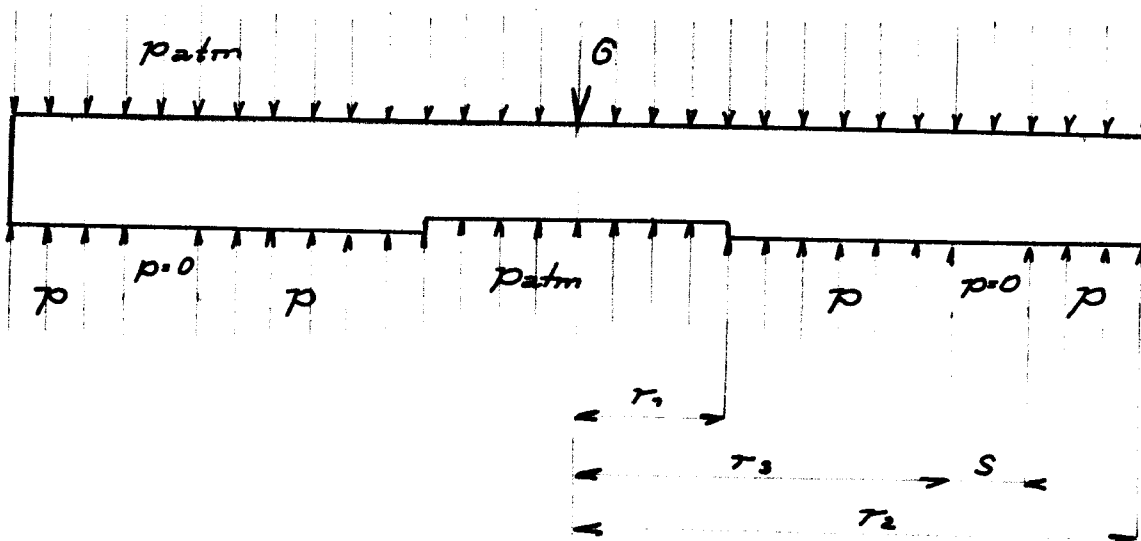
b.) Upevnací a podpírací
ústrojí

c.) Žebra

d.) Potrubí

Všechny tyto složky by však moment
setrvačnosti jen velmi málo ovlivnily.

Výpočet třetího odporu v
zábruse karuselu.

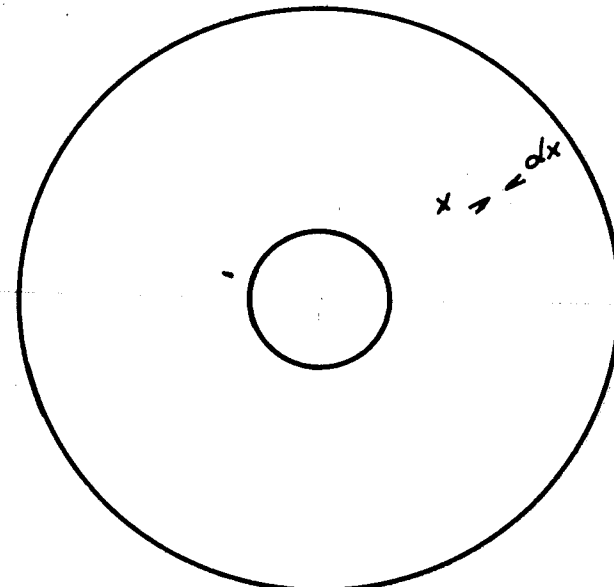


$$p = p_0 + p_{red}$$

$$p_{red} = p_{atm} \cdot \frac{2\pi(r_3 + \frac{s}{2}) \cdot s}{\pi(r_2^2 - r_1^2)} = 2 \cdot 1 \cdot \frac{9,8 + 1}{75^2 - 6,75^2} = \\ = 0,12 \text{ kg/cm}^2$$

$$p_0 = \frac{G}{\pi(r_2^2 - r_1^2)} = \frac{100}{\pi \cdot (75^2 - 6,75^2)} = 0,18 \text{ kg/cm}^2$$

$$p = 0,3 \text{ kg/cm}^2$$



$$r_1 = 6,75$$

$$r_2 = 150$$

$$r_3 = 98$$

$$s = 20$$

$$f = 0,1$$

$$dN = p \cdot dF = 2\pi p dx \cdot x$$

$$dT = f \cdot dN = 2\pi p f dx \cdot x = f \cdot p \cdot dF$$

$$M = \int_{r_1}^{r_2} x \cdot dT = 2\pi p \cdot f \cdot \int_{r_1}^{r_2} x^2 dx = \frac{2}{3} \pi \cdot p \cdot f / r_2^2 - r_1^2) =$$

$$= \frac{2}{3} \pi \cdot 0,3 \cdot 0,1 \cdot (15^2 - 6,75^2) = 192 \text{ kg dm}$$

$$\bar{T}_1 = \frac{M}{R} = \frac{192}{4} = 48 \text{ kg}$$

$$\underline{\bar{T}_1 = 48 \text{ kg}}$$

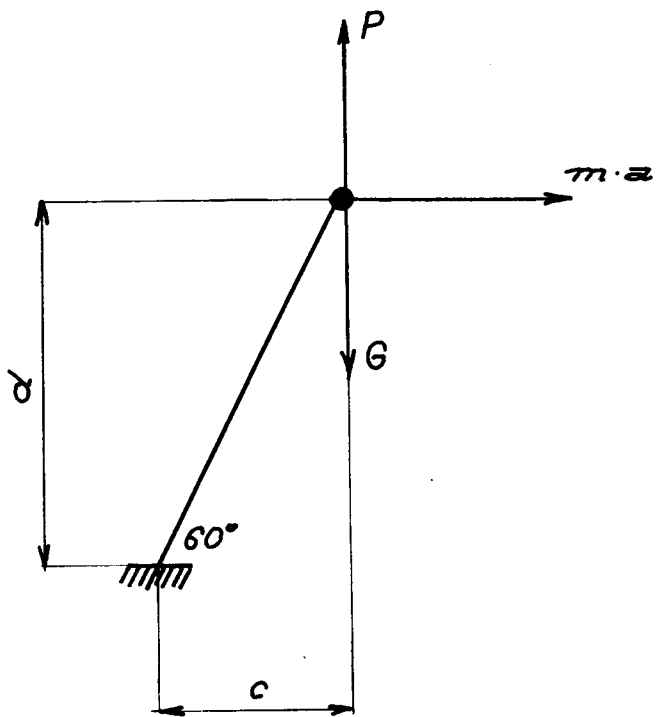
$$P = \frac{\pi D^2}{4} (\varphi \cdot p_e - p_p) = \frac{\pi D^2}{4} (\varphi \cdot 4 - 1) = 207 \text{ kg}$$

$$J_0 \cdot \varepsilon = R / (P - T_1)$$

$$\varepsilon = \frac{R \cdot (P - T_1)}{J_0} = \frac{0,4 \cdot (207 - 48)}{2,907} = 21,9 \frac{1}{\text{sec}^2}$$

$$\alpha = R \cdot \varepsilon = 0,4 \cdot 21,9 = \underline{\underline{8,75 \text{ m/sec}^2}}$$

I ze značně zjednodušeného výpočtu je vidět, že mechanismus je tlakově dostatečně dimenzován. Zrychlení nebude ve skutečnosti dosahovat tlakových hodnot, jelikož na pravou stranu pistu bude působit tlak větší než atmosférický. Mechanismus bude seřízen na žádané kinematické veličiny škrticími ventily při zkusebním provozu, jak se to běžně u pneumatických mechanismů provádí.

VÝPOČET PRUŽINY PODPĚRY TERMOLÁHVE

$$P \cdot c = m \alpha \cdot d + G \cdot c$$

$$d = 2c$$

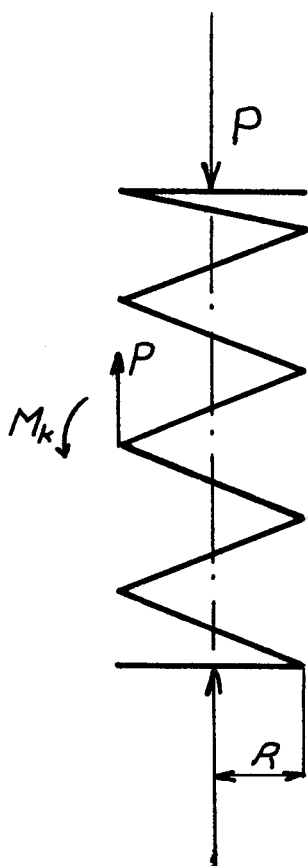
$$P = 2m\alpha + G$$

$$G = 40 \text{ dkg} , m\alpha = 5 \text{ dkg}$$

$$\underline{P = 50 \text{ dkg}}$$

Volím tlacnou pružinu, která po zatížení silou P má délku 50 mm.

Řešení na základě defor. práce.



$$l_2 = 50 \text{ mm}$$

$$l_1 = ?$$

$$n = 15$$

$$d = 0,8 \text{ mm}$$

$$R = 6,5 \text{ mm}$$

$$G = 8 \cdot 10^5 \text{ kg/cm}^2$$

mat 74260

$$L = \frac{M_k^2 \cdot 2\pi \cdot R \cdot n}{2 \cdot G \cdot \frac{\pi}{32} \cdot d^4} = \frac{1}{2} P \cdot (l_1 - l_2)$$

$$l_1 - l_2 = \frac{2P^2 \cdot R^2 \cdot 2\pi \cdot R \cdot n}{P \cdot 2G \cdot \frac{\pi}{32} \cdot d^4} = \frac{64 P \cdot R^3 \cdot n}{G \cdot d^4} =$$

$$= \frac{64 \cdot 0,5 \cdot 0,65^3 \cdot 15}{8 \cdot 10^5 \cdot 0,08^4} = 3,9$$

$$\underline{l_1 = l_2 + 39 = 89 \text{ mm}}$$

$$q = \frac{16 P \cdot R}{\pi \cdot d^3} = 3200 \text{ kg/cm}^2$$

Předpětí pružiny.

Minimální

$$P_{min} = \frac{G \cdot d^4}{64 R^3 \cdot n} \cdot (l_1 - l_{3max}) = \\ = \frac{8 \cdot 10^5 \cdot 0,08^4}{64 \cdot 0,65^3 \cdot 15} \cdot (8,9 - 8) = \underline{\underline{0,112 \text{ kg}}}$$

Maximální

$$P_{max} = \frac{G \cdot d^4}{64 R^3 \cdot n} \cdot (l_1 - l_{3min}) = \\ = \frac{8 \cdot 10^5 \cdot 0,08^4}{64 \cdot 0,65^3 \cdot 15} \cdot (8,9 - 5,5) = \underline{\underline{0,4 \text{ kg}}}$$

Délky l_3 jsou brány z konstrukčního výkresu.

Předpětí pružin je nutno seřídit při zkušebním provozu karuselu.

TEPELNÝ REŽIM V OHŘÍVACÍM TUNELU

Volím elektrickou průběžnou ohřívací pec pro výkon 300 termoláhví za hodinu, ohřávajících na 300°C . Dobu ohřevu 1 termoláhev $\tilde{t} = 10 \cdot 12 \text{ sec} = 120 \text{ sec} = 2 \text{ min}$.

Vycházím z toho, že vždy 10 posic bude uvnitř tunelu.

Maximální váha 1 termoláhev je 0,5 kg. Hodinový výkon pece $v \text{ kg } G = 750 \text{ kg}$. Hodinový výkon pece $v \text{ kcal} = Q_h$.

$$Q_h = G \cdot c / (t_2 - t_1) = 750 \cdot 0,2 / (300 - 20) = \\ = \underline{\underline{8400 \text{ kcal/hod}}}$$

$$c_{skla} = 0,2 \text{ kcal/kg } ^\circ\text{C}$$

Tunel bude vyhříván elektrickým teplem.

Výpočet teploty v peci.

Plocha povrchu 1l termolažve = 12 dm^2

Střední teplota povrchu $t_s = 150^\circ\text{C}$

Souč. přesunu tepla $\alpha = 75 \text{ kcal/m}^2\text{h}^\circ\text{C}$

$$Q = \alpha \cdot F \cdot \tau \cdot (t_{peci} - t_s)$$

$$t_{peci} - 150 = \frac{Q}{\alpha \cdot F \cdot \tau} = \frac{28}{75 \cdot 0,72 \cdot \frac{1}{30}} = 468^\circ\text{C}$$

$$t_{peci} = 468 + 150 = \underline{\underline{618^\circ\text{C}}}$$

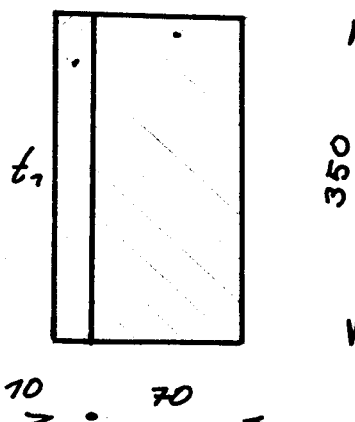
Ve skutečnosti nebude muset být teplota v peci tak velká, protože povrch termolažve se ohřeje velmi rychle na žádanou temperatu. Na prohřátí celé stěny tak dalece nezáleží, protože plyny odstraňujeme jen ze slabé povrchové vrstvy. Nebezpečí prasknutí nehrozí, jelikož ohřívací teplota je poměrně nízká.

Tepelné ztráty.

Ztráta tepla stěnami Q_1 .

asbest

magnesit



Mozíno zanedbat
plechový plášt'
pece.

$$t_1 = 20^\circ\text{C}$$

$$t_p = 620^\circ\text{C}$$

$$\alpha_1 = \alpha_2 = 6 \text{ kcal}/\text{m}^2\text{h}^\circ\text{C}$$

$$\lambda_{asbest} = 0,17 \text{ kcal}/\text{m}\text{h}^\circ\text{C}$$

$$\lambda_{magn.} = 0,07 \text{ kcal}/\text{m}\text{h}^\circ\text{C}$$

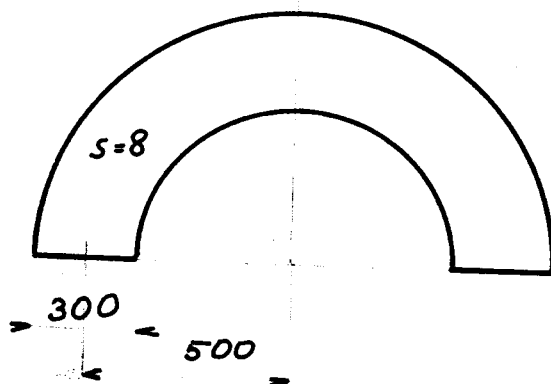
$$k_1 = \frac{1}{\frac{1}{\alpha_1} + \frac{1}{\alpha_2} + \frac{s_1}{\lambda_1} + \frac{s_2}{\lambda_2}} = 0,7 \text{ kcal}/\text{m}^2\text{h}^\circ\text{C}$$

$$F_1 = 0,35 \cdot \pi \cdot (0,65 + 0,35) = 7,7 \text{ m}^2$$

$$Q_1 = F_1 \cdot k_1 / (t_p - t_1) = 7,7 \cdot 0,7 / (620 - 20) = \\ = 463 \text{ kcal/hod}$$

$$\underline{\underline{Q_1 = 463 \text{ kcal/hod}}}$$

Ztráta tepla vedením dna Q_2



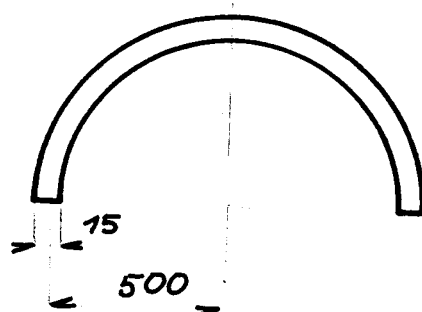
$$F_2 = \pi \cdot 0,5 \cdot 0,3 = 0,47 \text{ m}^2$$

$$k_2 = \frac{1}{\frac{1}{3} + \frac{0,008}{0,77}} =$$

$$= 2,65 \text{ kcal/m}^2 \text{ h}^\circ\text{C}$$

$$Q_2 = F_2 \cdot k_2 \cdot 600 = 0,47 \cdot 2,65 \cdot 600 = \underline{\underline{750 \text{ kcal/hod}}}$$

Ztráta tepla sáláním otvorem ve dnu Q_3



$$F_3 = 0,0235 \text{ m}^2$$

$$\varphi = \text{souč. zúž.} = 0,8$$

$$T_p = 893 \text{ }^\circ\text{K}$$

$$T_r = 293 \text{ }^\circ\text{K}$$

$$Q_3 = 4,96 \cdot \varphi \cdot F_3 \cdot \left[\left(\frac{T_p}{100} \right)^4 - \left(\frac{T_r}{100} \right)^4 \right] =$$

$$= 4,96 \cdot 0,8 \cdot 0,0235 \cdot \left[8,93^4 - 2,93^4 \right] = 590$$

$$\underline{\underline{Q_3 = 590 \text{ kcal/hod}}}$$

Ztráta tepla klenbou pece Q_4

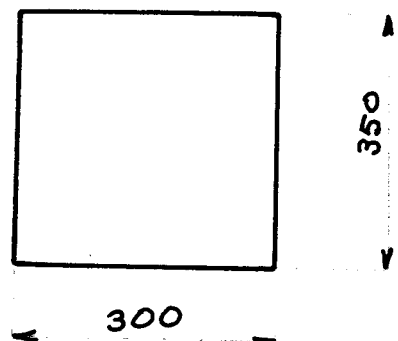
$s_1 = 20\text{mm}$, isolace asbestová'

$$k_4 = \frac{1}{\frac{1}{3} + \frac{0,02}{0,77}} = 2,2 \text{ kcal/m}^2\text{h}^\circ\text{C}$$

$$F_4 = F_2 = 0,47 \text{ m}^2$$

$$Q_4 = 0,47 \cdot 2,2 \cdot 600 = 620 \text{ kcal/hod}$$

$Q_4 = 620 \text{ kcal/hod}$

Ztráta tepla sáláním přesušovací
otvíranými čely pece Q_5 

$$F_5 = 2 \cdot 0,3 \cdot 0,35 = 0,21 \text{ m}^2$$

$$\varphi = 0,8$$

$$\bar{T} = 300 \cdot 1 \text{ sec} = 0,0835 \text{ hod}$$

$$Q_5 = 4,96 \cdot 0,8 \cdot 0,21 \cdot 0,0835 \cdot 6330 = 442$$

$Q_5 = 442 \text{ kcal/hod}$

Ztráta tepla vedením asbestovými
závěsy cel pece Q_6 .

$$F_6 = F_5 = 0,27 \text{ m}^2$$

Pro malou tloušťku závěsu zanedbováním $\frac{s}{d}$

$$k = \frac{\alpha}{2} = 4 \text{ kcal/m}^2 \text{ h}^\circ\text{C}$$

$$Q_6 = 0,27 \cdot 4 \cdot 600 = 505 \text{ kcal/hod}$$

Celková hodinová ztráta tepla.

$$Q_z = \sum_{n=1}^{n=6} Q_n = 3370 \text{ kcal/hod}$$

$$\underline{\underline{Q_z = 3370 \text{ kcal/hod}}}$$

Celková hodinová spotřeba tepla

$$Q = Q_h + Q_z = 8400 + 3370 = 11770 \text{ kcal/hod}$$

$$\underline{\underline{Q = 11770 \text{ kcal/hod}}}$$

Výpočet hodinového příkonu pece.

U elektrických pecí' nutno přihlížet k záloze výkonu pece, vyjádřené součinitelem $K_1 = 1,2$; dále se počítá se součinitelem uvažujícím pokles napětí v síti o cca 10%. Pak $K_2 = 0,9^2 = 0,81$

$$P = \frac{Q \cdot K_1}{860 \cdot K_2} = \frac{11700 \cdot 1,2}{860 \cdot 0,81} = 20,3 \text{ kW}$$

$P = 20,3 \text{ kW}$

Výpočet topných odporů.

- | | |
|----------------|---------------------------------------|
| E | Napětí na koncích topného odporu |
| N | Příkon topného odporu při prac. t. |
| c _z | Měrné povrchové zastavení top. odporu |
| R | Celkový odpor |
| f | Průřez topného odporu |
| d | Průměr topného odporu |
| l | Délka odporu |
| p | Měrný odpor |

$$N = E \cdot J \quad J = \frac{E}{R} \quad R = \frac{E^2}{N}$$

$$R = \rho \cdot \frac{l}{f} = \rho \cdot \frac{l}{\frac{\pi d^2}{4}} = \frac{4\rho l}{\pi d^2}$$

$$\text{tak } \frac{E^2}{N} = \frac{4\rho \cdot l}{\pi d^2}$$

V této rovnici jsou 2 neznámé l, d .

Použiji měrného povrchového zážehu.

$$N = c_2 \cdot \pi \cdot d \cdot l$$

$$l = \frac{N}{c_2 \cdot \pi \cdot d}$$

$$\frac{E^2}{N} = \frac{4\rho N}{c_2 \cdot \pi^2 \cdot d^3}$$

$$d = \sqrt[3]{\frac{4\rho N^2}{\pi^2 \cdot c_2 \cdot E^2}}$$

Jako materiál odporu volin antoxyd
o složení 27% Cr, 38,5% Ni, zbytek Fe.

$$\rho = 1,28 \Omega \text{ mm}^2/\text{m} \text{ při } 900^\circ\text{C}$$

$$E = 220 \text{ V}$$

$$N = 20300 \text{ W}$$

$c_2 = 6 \text{ W/cm}^2$ s ohledem na nízkou
pracovní teplotu

Vzorec upřavíme tak, abychom
 $\rho = c_2$ mohli dosazovat v zadánych
jednotkách

$$d = \sqrt[3]{\frac{4S \cdot P^2}{10 \pi^2 \cdot c_2 \cdot E^2}} = \sqrt[3]{\frac{4 \cdot 1,28 \cdot 20300^2}{10 \cdot \pi^2 \cdot 6 \cdot 220^2}} = \\ = 4,78 \text{ mm}$$

d volím 5 mm

$$l = \frac{E^2 \cdot \pi d^2}{4S \cdot N} = \frac{220^2 \cdot \pi \cdot 5^2}{4 \cdot 1,28 \cdot 10^{-2} \cdot 20300} = 3320 \text{ mm}$$

$l = 3,3 \text{ m}$

Tyto hodnoty jsou ovšem jen
teoretické a pro správný režim
v peci musí být odzkouseny.

E K O N O M I C K Y R O Z B O R .

Náklady na vyčerpání 1 termoláhev při stávajícím způsobu
vyčerpání.

Mzdy:	Počet vyčerpaných termolahví za 1 měsíc	120 000 ks.
	Norma 1 pracovníka za 1 hodinu	50 ks.
	Nutný měsíční počet normohodin	<u>120 000</u> 2.400 hod.
	Sazba za 1 normohodinu	7,70 Kčs
	Mzdové náklady za 1 měsíc	2 400x 7,70 18 000 Kčs

Mzdové náklady na vyčerpání 1 termoláhev:

$$\frac{18 500}{120 000} * \underline{\underline{0,1545 \text{ Kčs}}}$$

Energie: Spotřeba 4 000 m³ plynu à 0,25 Kčs 1.000 Kčs

Energetické náklady na 1 termoláhev :

$$\frac{1 000}{120 000} * \underline{\underline{0,0085 \text{ Kčs}}}$$

Celkové náklady na vyčerpání 1 termoláhev:

$$0,1545 + 0,0085 = \underline{\underline{0,1630 \text{ Kčs.}}}$$

Náklady na vyčerpání 1 termo-
láhve při použití čerpacího
karuselu.

Kapacita 1 karuselu při dvousměnném provozu za 1 den:

$$\begin{aligned} \text{za 1 den } 300 \times 15,2 &= 4.560 \text{ ks} \\ \text{za 1 měs. } 4560 \times 26 &= 120.000 \text{ ks} \end{aligned}$$

Mzdy: Kvalit.třídu počítám stejnou, ačkoliv bude ji možno snížit. Počet hodin $26 \times 16 = 416$

Mzdové náklady za 1 měsíc $= 416 \times 7,70 = 3\ 200$ Kčs
Mzdové náklady na vyčerpání 1 termoláhve:

$$\frac{3\ 200}{120\ 000} = 0,0266 \text{ Kčs}$$

Energie:

Náklady na elektrickou energii za 1 měsíc:

$$416 \times 20,3 \times 0,15 = 1\ 260 \text{ Kčs}$$

Náklady za elektrickou energii na 1 termoláhev:

$$\frac{1\ 260}{120\ 000} = 0,0105 \text{ Kčs}$$

Celkové náklady na vyčerpání 1 termoláhve:

$$0,0266 + 0,0105 = 0,0371 \text{ Kčs}$$

Z Á V Ě R .

=====

Úspora nákladů na vyčerpání 1 termoláhve:

$$0,1630 - 0,0371 = 0,1259 \text{ Kčs}$$

Celková roční výroba termoláhví = $120\ 000 \times 12 = 1\ 440\ 000$ ks

Celková roční úspora při čerpání termolahví čerpacím

karuselem $1\ 440\ 000 \times 0,1259 = 181\ 000 \text{ Kčs.}$

=====

Další úspora vznikne uvolněním 200 m^2 pracovního prostoru
v hale.

Z uvedeného rozboru je zřejmé, že čerpací karusel splňuje
všechny podmínky, které byly na něj kladeny.

Ludvík Žďárský

O B S A H D I P L O M O V É P R Á C E .1. Část popisná a výpočtová.

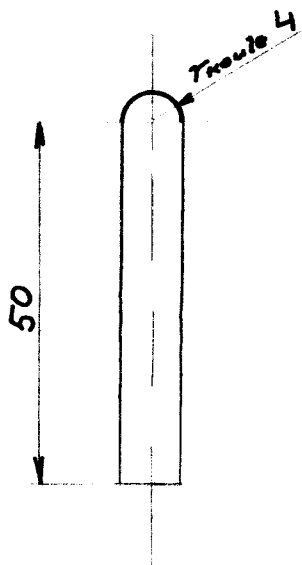
	strana
Zadání	1
Úvod	2
Zhodnocení čerpací techniky v ČSSR a v zahraničí	3
Normy vložek pro izolační láhve ČSN 70 4990	5
Technologický postup konečného zpracování termosek	9
Odplynění skla	12
Volba druhu a počtu vývěv	14
Kontrola výkonu vývěv	16
Návrh mechanizmu pohonu karuselu	21
Popis činnosti elektro-pneumatické instalace	24
Mazání karuselu	27
Konstrukce náhonu tlakového přístroje	29
Teoretický výpočet pneumatického mechanizmu	30
Kontrola pneumatického mechanizmu	67
Výpočet pružiny podpěry termoláhve	76
Tepelný režim v ohřívacím tunelu	79
Ekonomický rozbor	88
Obsah	91

2. Část výkresová.

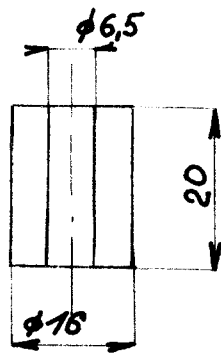
5 výkresů formátu	A ₀
1 výkres	" A ₁
7 výkresů	" A ₄
2 rozpisy	" A ₄

Celkový rozsah diplomové práce 188 formátů A₄.

125

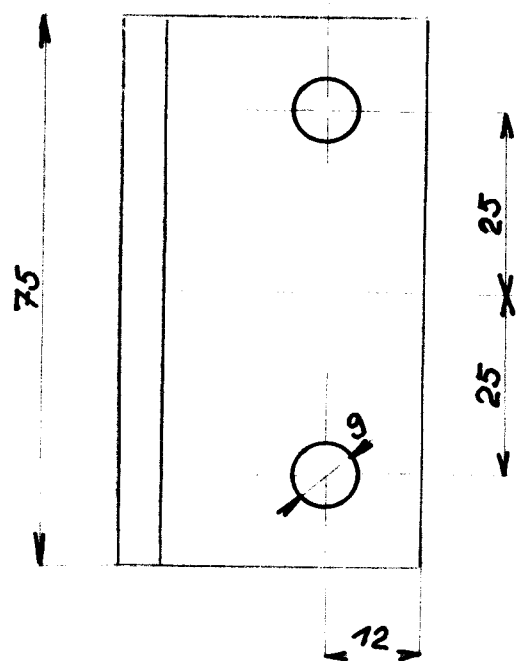
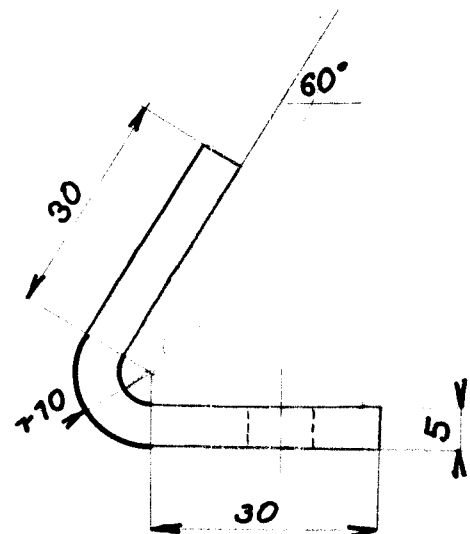


16 Rukojet'				11370						9	
Počet 1930	fázov - Rozměr	Pohybový	Mat. konečný	Mat. výchozí	Mříža Odp.	Č. výška	Fr. výška	Cílo výkresu	Poz.		
Poznámka		Celková č. výška kg									
Měřítko 1:1	Kreslil <i>Halačej</i>	Čís. sním.									
	Funkční										
	Form. ref.										
	Výr. projednací	Sč. výšek	Č. transp.								
		Dne									
VŠST Liberec Spec. sklár. strojů		Typ Název	Skupina	Starý výkres	Použ. výkres						
		KČA									
				Počet listů							



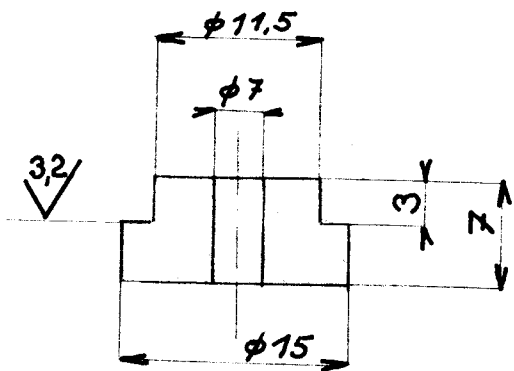
16	Ucpávka			gume						3
Počet kusů	Název - Rozměr	Pristevar	Mat. konečný	Mat. výchozí	Třída od.	Č. vráha	Hr.vráha	Číslo výkresu	Pos.	
Poznámka	Celková výška kg									
Měřítko	K. II Haládej			Čís. sním.	čís. sním.					x
1:1	Předložek				čís. sním.					x
	Norm. ref.				čís. sním.					x
	Vyr. projednat	Schválil		Č. transp.	čís. sním.					x
		Draž			Změna					x
VŠST Liberec	Typ	Skupina		Starý výkres		Nový výkres				
Spec. sklář. strojů	Název	KČA								
				Počet listů						

125 ✓

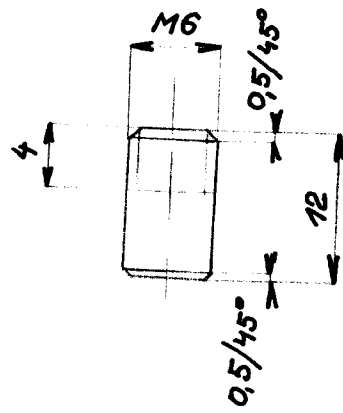


16 Příp. plech				11370					5
Počet listů	Název - Rozměr	Kuželový	Mat. konečný	Mat. výchozí	Teplota Odp.	Č. výška	H.výška	Číslo výkresu	Poz.
Pomůcky	Celičkové č. výkres kg								
Meřítko	Kr. H	Haladej	Cis. směr.						
1:1	Překladač								
	A. n. ref.								
	V. s. projed. /	S. s. P.I.	C. branap.						
		D. o.							
VŠST Liberec Spec. skid. strojů	Typ Název	Skupina	Sklad výkres						
	KČA								
									Počet listů
									1/1

12,5 (3,2)



6,3



16 Vodicí kolíček

Kód kusu - Rozměr

Poznámk

Měřítko

2:1

VŠST Liberec
Spec. sklív. strojůTyp
Název

Skupina

KČA

11370

Lust. výchozí

Mida

číslo

Č. výro

Hrváčka

Číslo výkresu

8

Pos.

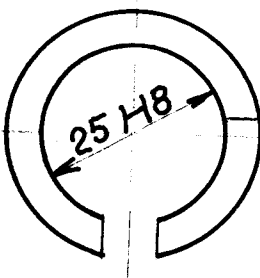
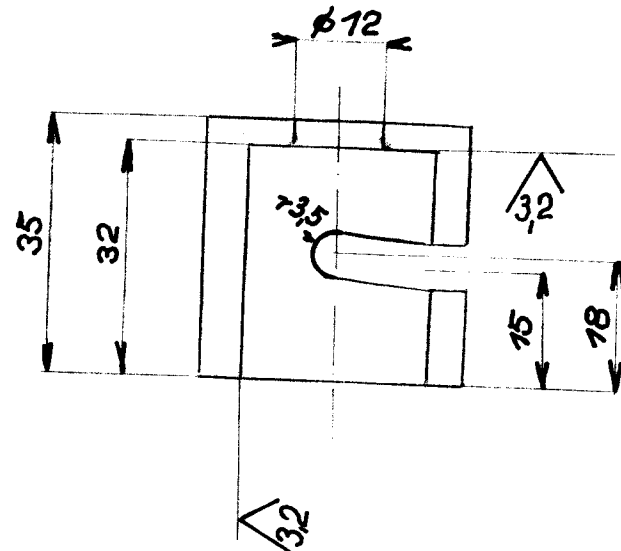
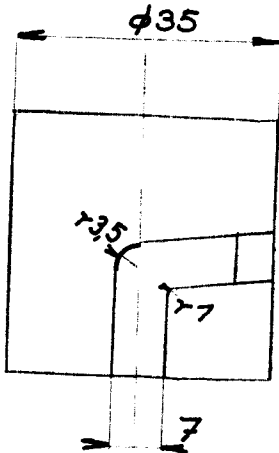
Cukrová č. výška kg

Počet listů	Počet změny
	x
	x
	x
	x
	x
	x

Počet listů

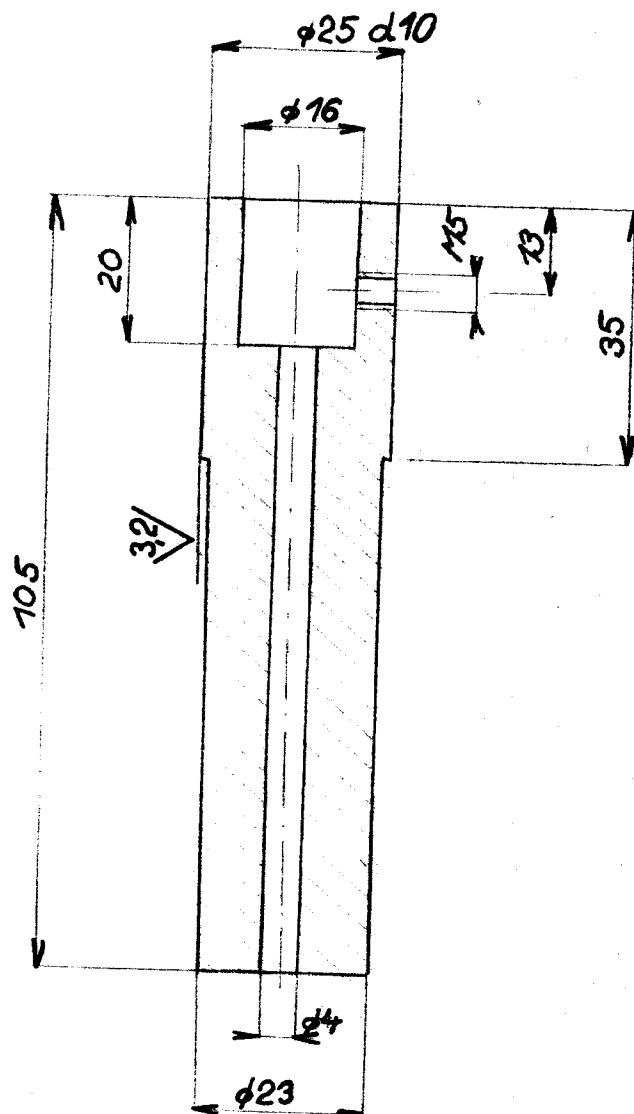
List

$\checkmark 12,5$ $(\checkmark 3,2)$



16	Víčko			11370						4
Počet kusů	Název - Rozměr	Pouzdrový	Mat. konečný	Mat. výrobce	Typ	C. vaha	Hr. vaha	Cena výkresu	Dos.	
Poznámka				Celková č. vahy kg						
Měřítko	I. B. Haladej		Cíl. sním.							
1:1	Přísl. použití									
	Norm. ref.									
	Vyr. projednat	Schvátil	C. transp.							
		Dne								
VŠST Liberec Spec. sklár. strojů	Typ Název	Skupina	Starý výkres	Nový výkres						
	KČA									
			Počet 1/100							

✓ (✓)



16 Těleso držáku				11370					1
Pořadí kusu	Název - Rozměr	Půdorys	Mat. konstrukc.	Mat. vložek	<small>mm²</small>	C. vaha	Mn.vaha	Cílový výkresu	<small>kg</small>
Rozměr				Cílová vaha					
miňáčko	K 1 1 louskl	Haladej	Cílový výkres	Cílová vaha kg					
1:1	No. 1 ref.								
	Výr. projednat	Schvédil	C. transp.						
		Lise							
VŠST Liberec Spec. říč. strojů		TYP Název	Skupina	Starý výkres		Nový výkres			
			KČA						
Počet listů									
Uml									

21	16	Obal	zabest
20	16	Objímka	11370
19	16	Podpírací tyč	"
18	16	Stavěcí matice M6	"
17	16	Opěrka	11370
16	16	Podpírací tyč	"
15	16	Pružina	14260
14	16	Stavěcí šroub M24	11370
13	16	Vičko	"
12	16	Těleso podpěry	"
11	64	Žebro	"
10	16	Připevnovací plech	"
9	16	Rukojet'	"
8	16	Vodicí kolíček	"
7	96	Šroub M8 x 20 s maticí	
6	16	Stlačovací vložka	11370
5	16	Připevnovací plech	"
4	16	Vičko	"
3	16	Ucpávka	guma
2	16	Trubka $\phi 8 \times 1$	11350,2
1	16	Těleso držáku	11370

28	16	Podpěra	
27	16	Upínací ústrojí	
26	1	Ohrívací tunel	
25	1	Rám ohřívacího tunelu	
24	1	Otočný stůl	
23	1	Raz. kul. ložisko	6015
22	1	Nádrž -II-	6017
21	1	Nádrž na olej	
20	1	Potrubi k dokonč. vývězím	
19	1	Potrubi k předvak. vývěvě	
18	1	Pátkaz	
17	4	Pojížděcí kolečko	
16	6	Stavěcí šroub	
15	1	Náhon mazacího přístroje	
14	1	Mazací přístroj	ON 12 A 42
13	1	Otočná deska zábrusu	
12	1	Pevná deska zábrusu	
11	1	Připojkové těleso	
10	1	Zajistovací polohy	
9	2	Ventil	
8	1	Osaz stolu	
7	1	Elmag. ventil	
6	1	Soupaťková skříň	
5	1	Regulátor	
4	1	Krokovací páka	
3	1	Pistní tyč	
2	1	Krokovací válec	
1	1	Rám karuselu	